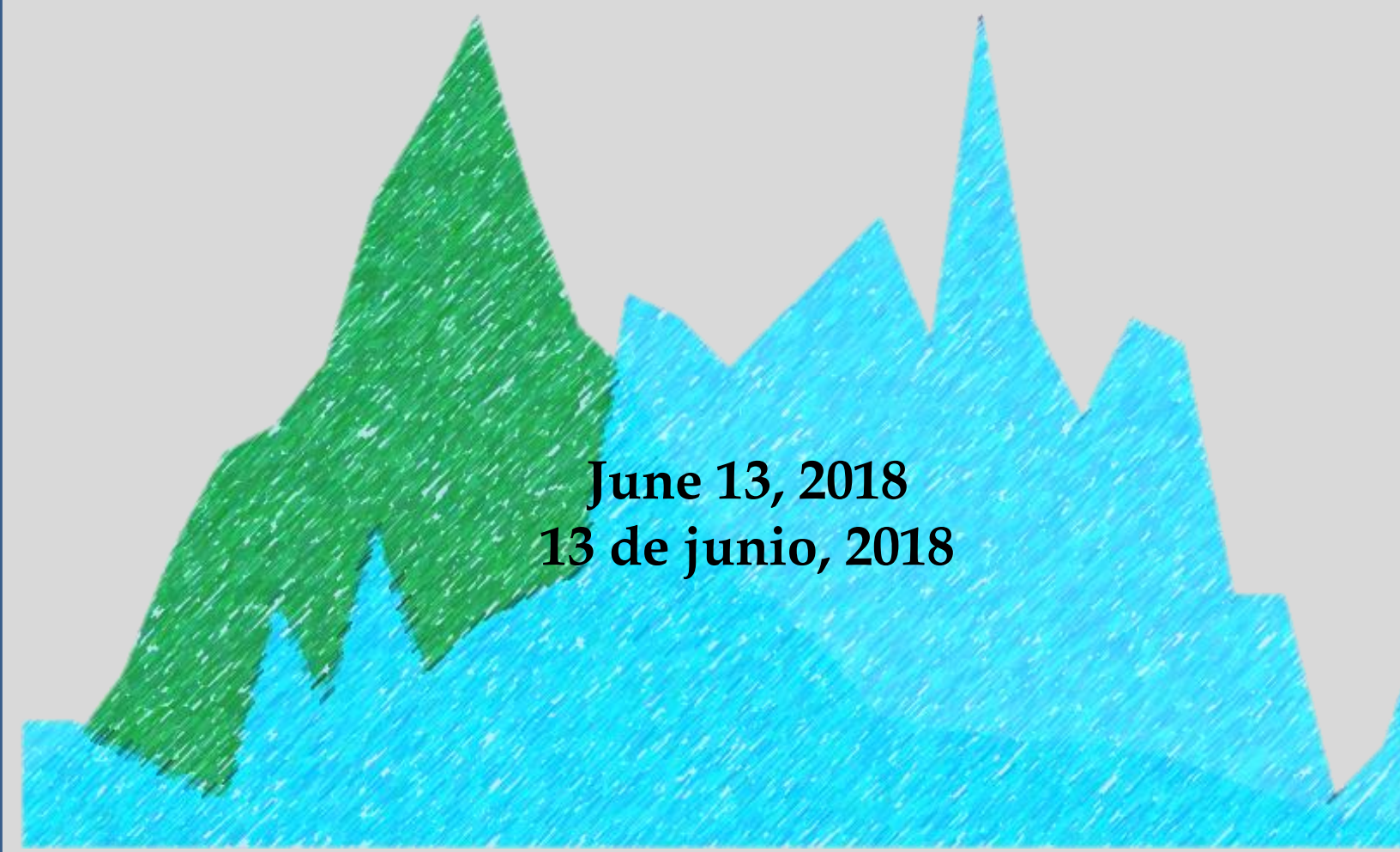


2018

Weekly / Semanal **Influenza Report EW 22/ Reporte de Influenza SE 22**

Regional Update: Influenza & Other Respiratory Viruses /
Actualización Regional: Influenza y Otros virus respiratorios



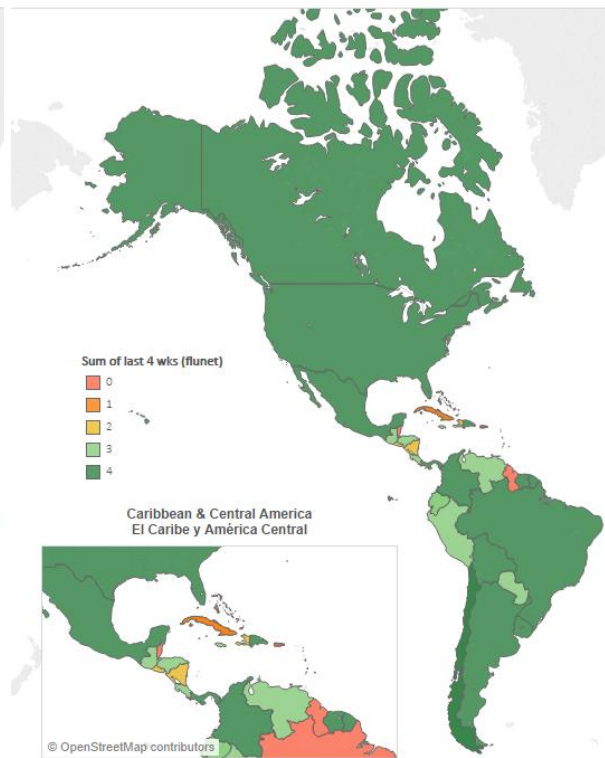
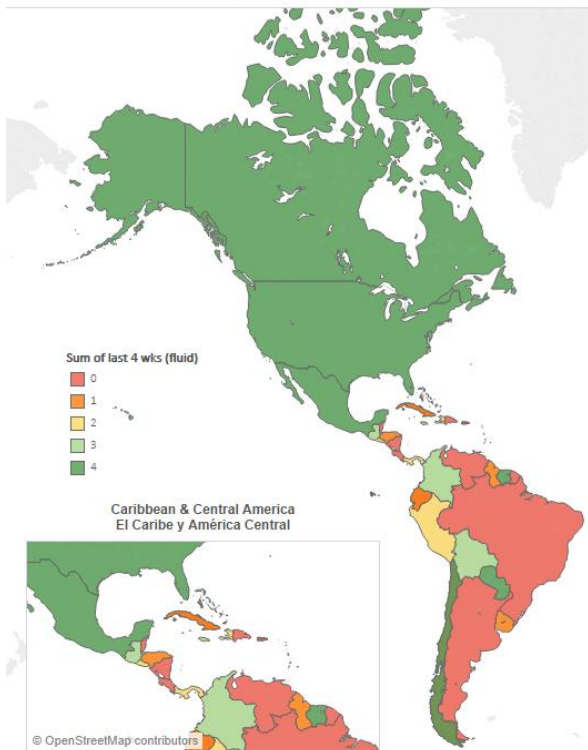
June 13, 2018
13 de junio, 2018

FluID

FluNet

FluID frequency of reporting in EW 12-15, 2018
FluID frecuencia de los reportes en SE 12-15, 2018

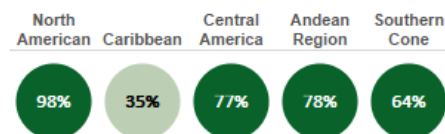
FluNet frequency of reporting in EW 12-15, 2018
FluNet frecuencia de los reportes en SE 12-15, 2018



FluID Overall Frequency of Reporting, as of EW 15, 2018
FluID frecuencia de todos reportes, hasta SE 15, 2018



FluNet Overall Frequency of Reporting, as of EW 15, 2018
FluNet frecuencia de todos reportes, hasta SE 15, 2018



Map Production /Producción del mapa: PAHO/WHO, OPS/OMS.

Data Source /Fuente de datos:

Ministries of Health and National Influenza Centers of Member States Reports to the informatics global platforms FluNet and / Informe de los Ministerios de Salud y los Centros Nacionales de Influenza de los Estados Miembros a las plataformas informáticas alianeras de FluNet y FluID

[Go to Index/
Ir al Índice](#)

WEEKLY REPORT DATA SOURCES

The information presented in this update is based on data provided by Ministries of Health and National Influenza Centers of Member States to the informatics global platforms http://www.who.int/influenza/gisrs_laboratory/flunet/en/ and http://www.who.int/influenza/surveillance_monitoring/fluid/en/; and reports/weekly bulletins that Ministries of Health published on its website or shared with PAHO/WHO.

La información presentada en esta actualización se obtiene a partir de los datos notificados por los Ministerios de Salud y los Centros Nacionales de Influenza de los Estados Miembros a las plataformas informáticas globales de la OPS/OMS: [FluNet](#) y [Fluid](#); y de los informes/boletines semanales que los Ministerios de Salud publican en sus páginas web o comparten con OPS/OMS.

PAHO INFLUENZA LINKS

PAHO interactive data / Datos interactivos de la OPS:

PAHO FluNet: http://ais.paho.org/php/viz/ed_flu.asp

PAHO Fluid: <http://ais.paho.org/php/viz/flumart2015.as>

Influenza Regional Reports / Informes regionales de influenza:

In English: <http://www.paho.org/influenzareport>

En español: www.paho.org/reportesinfluenza

Severe acute respiratory infections network - SARInet
Red de las infecciones respiratorias agudas graves - SARInet:

<http://www.sarinet.org>

REPORT INDEX

ÍNDICE DE LA ACTUALIZACIÓN

Section	Content	Page
1	Weekly Summary / Resumen Semanal	5
2	Overall Influenza and RSV circulation / Circulación general de los virus influenza y VSR	6
3	Weekly and Cumulative numbers / Números semanales y acumulados	7
4	Epidemiological and Virologic update by country / Actualización epidemiológica y virológica por país	8
5	Acronyms / Acrónimos	31

[Go to Index/
Ir al Índice](#)

WEEKLY SUMMARY (ENGLISH)

North America: Overall, influenza activity was at inter-seasonal levels in [Canada](#), [Mexico](#) and the [United States](#), with influenza B predominating.

Caribbean: Influenza virus activity decreased and low RSV activity was reported throughout most of the sub-region. In [Jamaica](#), influenza activity decreased, with influenza A(H1N1)pdm09 and A(H3N2) co-circulating.

Central America: Epidemiological indicators remained at moderate levels and influenza and RSV circulation were reported to decrease throughout the sub-region. In [Guatemala](#) and [Honduras](#), influenza activity continued elevated with co-circulation of influenza A(H1N1)pdm09, A(H3N2) and B, and SARI activity was similar to the previous season.

Andean Region: Overall influenza and other respiratory virus activity remained stable in the sub-region. Influenza-associated SARI activity continued elevated in [Bolivia](#), with influenza B and A(H1N1)pdm09 co-circulating. In [Perú](#), influenza A(H1N1)pdm09 activity increased, while SARI activity decreased.

Brazil and Southern Cone: Influenza and RSV levels continued below the seasonal levels throughout most of the sub-region, with influenza B predominance. Overall ILI and SARI activity continued at low levels.

Global: Influenza detections continued to increase in recent weeks in Southern Africa, however influenza activity remained under seasonal thresholds in most other countries of the temperate zone of the southern hemisphere. In the temperate zone of the northern hemisphere influenza activity returned to inter-seasonal levels in most of the countries. Increased influenza activity was reported in some countries in tropical America. Worldwide, seasonal influenza subtype A accounted for the majority of influenza detections.

RESUMEN SEMANAL (ESPAÑOL)

América del Norte: En general, la actividad de influenza se encontró a niveles inter-estacionales en [Canadá](#), [México](#) y los [Estados Unidos](#), con predominio de influenza B.

Caribe: La actividad de influenza disminuyó y se reportó una actividad disminuida de VSR en la mayoría de la subregión. En [Jamaica](#), la actividad de influenza disminuyó, con co-circulación de influenza A(H1N1)pdm09 y A(H3N2).

América Central: Los indicadores epidemiológicos permanecieron en niveles moderados y se informó que la circulación de influenza y VSR se encuentran en descenso en toda la sub-región. En [Guatemala](#) y [Honduras](#), la actividad de influenza continuó elevada con co-circulación de influenza A(H1N1)pdm09, A(H3N2) y B, y la actividad de IRAG fue similar a la temporada previa.

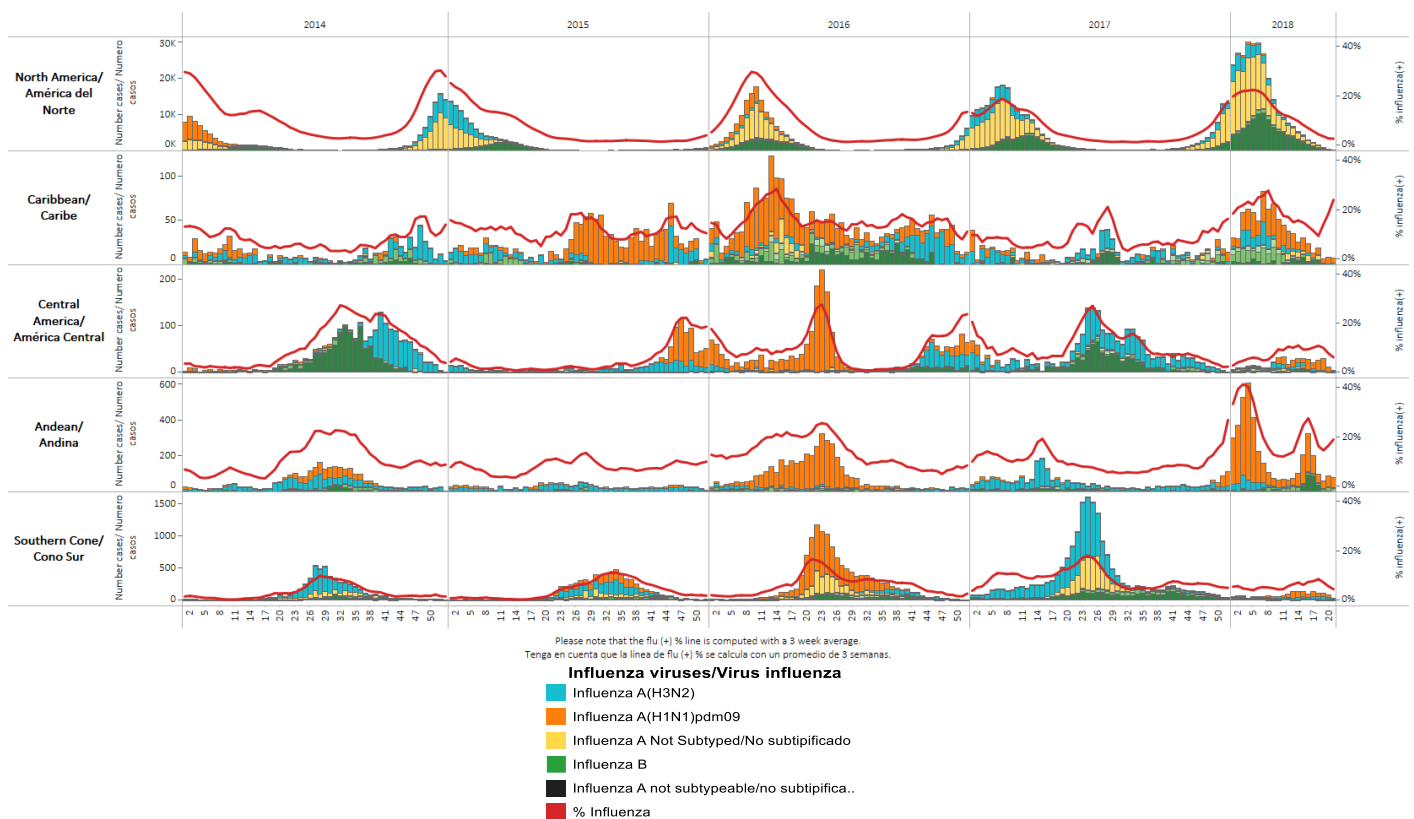
Sub-región Andina: La actividad general de influenza y otros virus respiratorios permaneció estable en la sub-región. La actividad de IRAG asociada a influenza continuó elevada en [Bolivia](#), con co-circulación de influenza B y A(H1N1)pdm09. En [Perú](#), la actividad de influenza A(H1N1)pdm09 aumentó, en tanto la de IRAG disminuyó.

Brasil y Cono Sur: Los niveles de influenza y VSR continuaron dentro de los niveles estacionales en toda la sub-región, con predominancia de influenza B. La actividad de ETI y de IRAG continúan bajas, en general.

Global: Las detecciones de influenza siguieron aumentando en las últimas semanas en el sur de África, sin embargo, la actividad de influenza se mantuvo por debajo de los umbrales estacionales en la mayoría de los demás países de la zona templada del hemisferio sur. En la zona templada del hemisferio norte, la actividad de influenza volvió a niveles inter-estacionales en la mayoría de los países. Se informó una mayor actividad de influenza en algunos países de América tropical. En todo el mundo, el subtipo A de influenza estacional representó la mayoría de las detecciones de influenza.

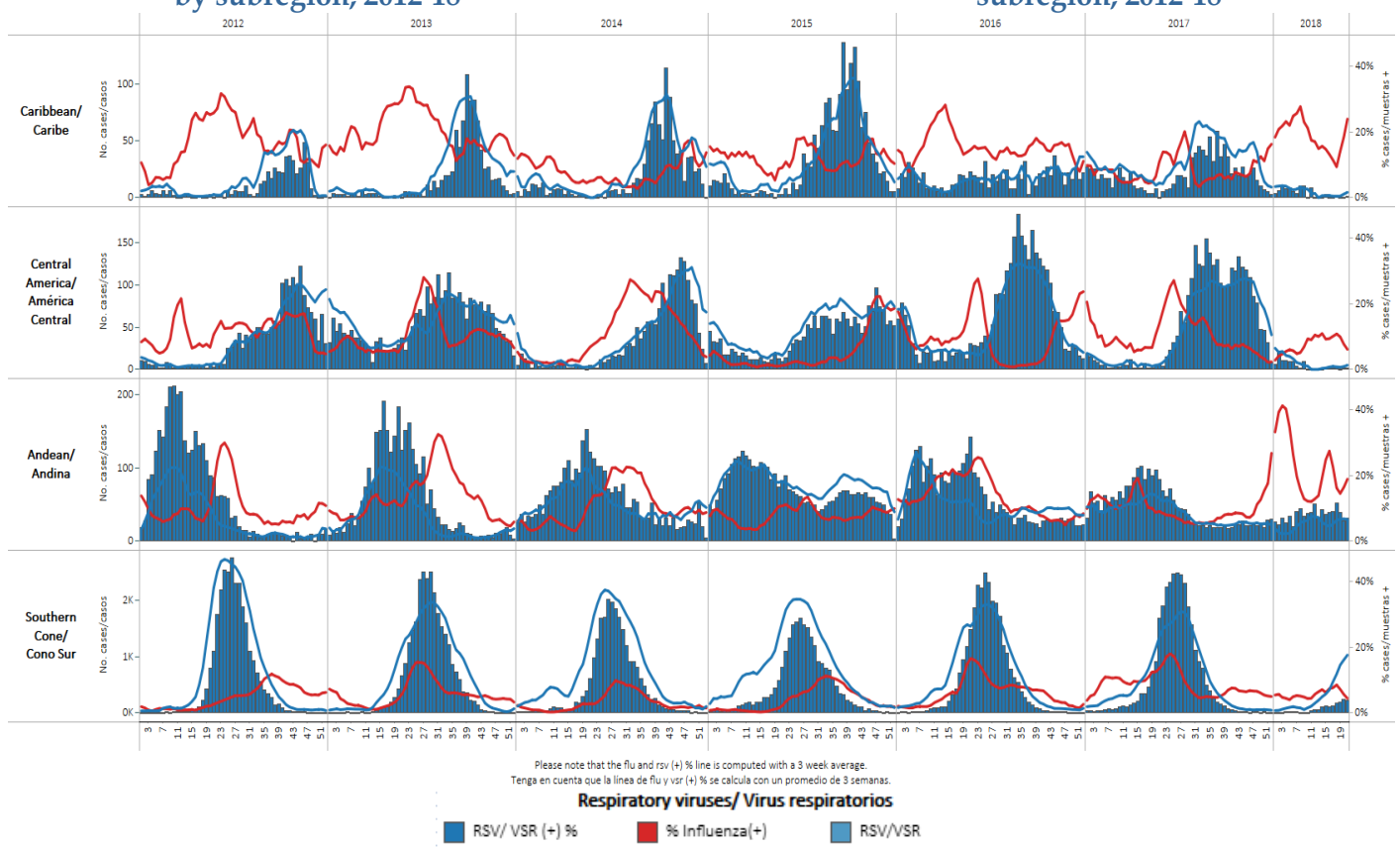
Influenza circulation by subregion, 2014-18

Circulación virus influenza por subregión, 2014-18



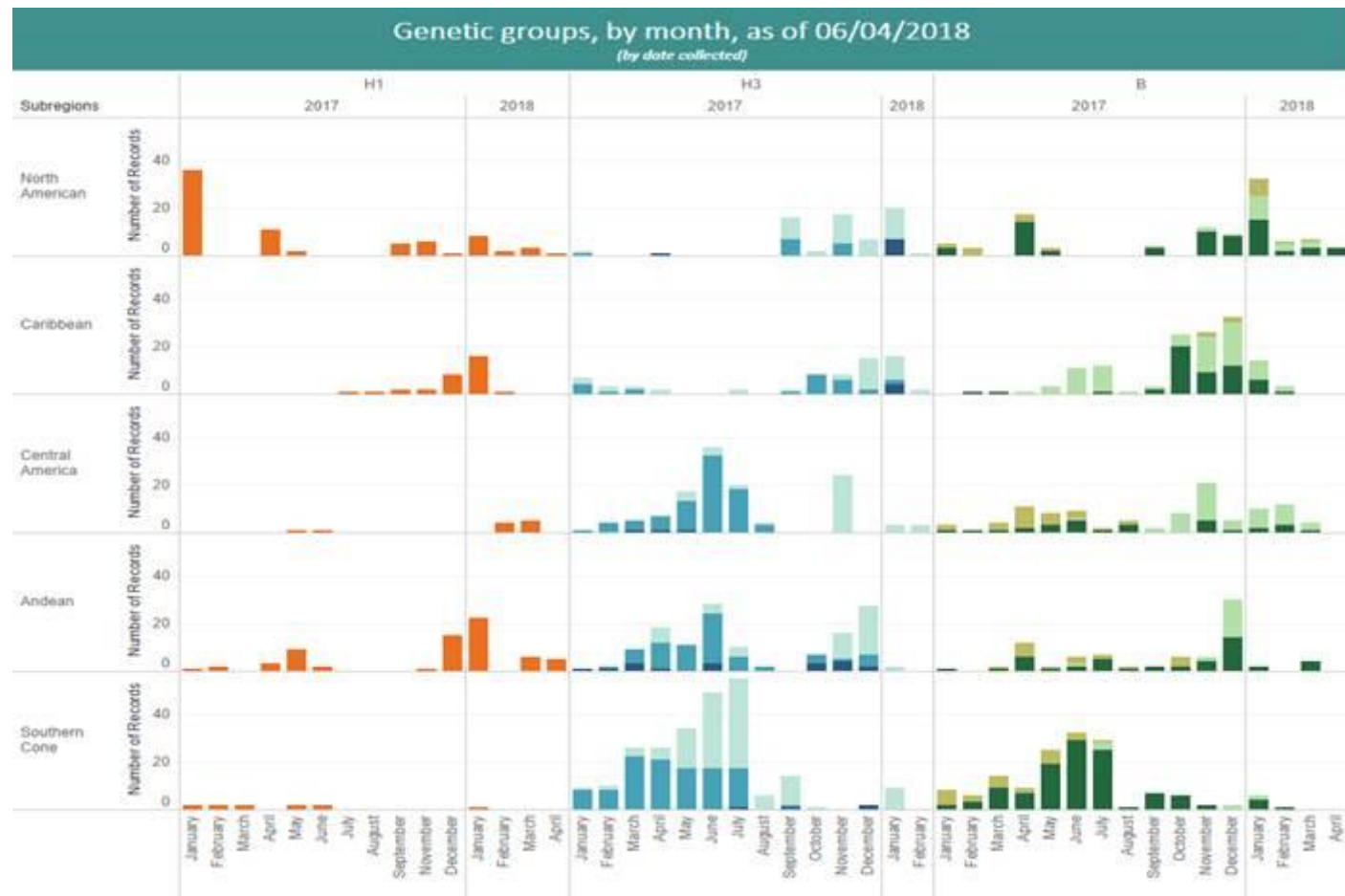
Respiratory syncytial virus (RSV) circulation by subregion, 2012-18

Circulación de virus sincicial respiratorio por subregión, 2012-18

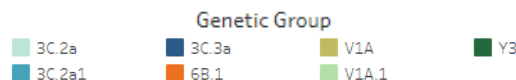


Genetic Characterization of Influenza Viruses by Subregion, 2017-18

Caracterización Genética de los Virus Influenza por Subregión, 2017-18



These data are from the WHO –Collaborating Center at the U.S. CDC.
Estos datos son recolectados desde el CC de la OMS en el CDC de EE. UU.



Weekly and cumulative numbers of influenza and other respiratory virus, by country and EW, 2018¹ Números semanales y acumulados de influenza y otros virus respiratorios, por país y SE, 2018²

EW 22, 2018 / SE 22, 2018

		N samples/muestras	Influenza A/H3N2* Influenza A/H1N1/pdm09* Influenza A non-subtypable*	Influenza B Victoria* Influenza B Yamagata* Influenza B lineage undetermined*	Influenza B (%)	Adenovirus*	Pneumococcus*	RSV/WSR	% RSV/WSR (+)	Bocavirus*	Coronavirus*	Metapneumovirus*	Rhinovirus*	% All Positive Samples (+)
North America/ América del Norte	Mexico USA	125 132	0 2	5 24	0 1	0 3	34 50.0%	- -	- -	- -	- -	- -	- -	2 8.0%
Caribbean/ Caribe	Dominican Republic Jamaica	5 16	0 0	0 1	0 0	0 0	0 12.5%	0 0	0 0	0 0	0 0	0 0	0 0	0.0% 12.5%
Central America/ América Central	Costa Rica Guatemala Honduras Nicaragua Panama	44 30 1 22 41	0 0 0 0 0	0 10 0 0 0	0 0 0 0 0	1 0 0 0 0	2.3% 33.3% 0.0% 0.0% 0.0%	1 2 0 0 2	6 3 0 0 10	0 0 0 0 0	0 0 0 0 0	0 0 0 0 0	0 0 0 0 15	18.2% 50.0% 0.0% 0.0% 65.9%
Andean/ Andina	Bolivia Colombia Ecuador Ecuador IRAG Peru	119 185 61 50 202	1 0 0 0 0	19 6 0 0 69	5 0 0 0 0	23 0 0 2 0	40.3% 4.3% 3.3% 2.0% 34.2%	0 3 0 0 0	0 5 0 1 5	19 25 1 1 2	16% 14% 2% 2% 2%	0 3 0 0 0	0 4 0 0 0	56.3% 28.6% 4.9% 4.0% 36.6%
Brazil & Southern Cone/ Brasil y Cono Sur	Brazil Chile Chile_IRAG Paraguay Uruguay Uruguay IRAG	47 1,248 48 123 43 26	2 36 0 0 0 0	18 1 0 0 0 0	0 25 1 0 0 0	0 1 0 0 0 0	42.6% 5.4% 2.1% 2.4% 0.0% 0.0%	0 35 0 4 0 0	0 101 5 0 1 0	242 19% 20 40% 7% 12%	0 0 0 0 0 0	0 9 1 5 0 0	0 36.4% 58.3% 9.6% 9.3% 11.5%	
Grand Total		2,568	41	131	55	1	27	49	11.9%	47	132	368	14%	3 4 17 20 34.9%

These are the raw numbers provided in the country's FluNet update (Not the smoothed averages)
Estos son los números crudos proporcionados en la actualización FluNet del país (no los promedios suavizados)

*Please note blank cells indicate N/A.

*Por favor notar que las celulas en blanco indican N/A.

EW 21, 2018 / SE 21, 2018

EW 19-22, 2018 / SE 19-22, 2018

EW 19-22, 2018 / SE 19-22,2018																			
		N	samples/muestras	Influenza (H3N2)*	Influenza A(H1N1)pdm09*	Influenza A non-subtyped*	Influenza B Victoria*	Influenza B Yamagata*	Influenza B lineage undetermined*	Influenza (+) %	Adenovirus*	Parmainfluenza*	%RSV/WSR(+)	Bocavirus*	Coronavirus*	Metapneumovirus*	Rhinovirus*	% A/P Positive Samples (+)	
North America/ América del Norte		Canada	15,900	7	10	87	0	0	79	1.2%	34	99	123	0.8%	0	19	93	207	4.8%
		Mexico	898	4	29	0	4	10	14	7.0%	3	7	0	0.0%	0	0	7	10	10.0%
		USA	2,980	34	47	480	13	82	834	50.0%	0	0	0	0	0	0	0	0	50.0%
Caribbean/ Caribe		Aruba	1	0	1	0	0	0	0	100.0%	0	0	0	0	0	0	0	0	100.0%
		Belize	9	0	0	0	0	0	0	0.0%	0	0	0	0.0%	0	0	0	0	0.0%
		Cuba	13	0	0	0	0	0	0	0.0%	0	0	0	0.0%	0	1	0	0	7.7%
		Cuba IRAG	11	0	0	0	0	0	0	0.0%	0	0	0	0.0%	0	1	0	0	9.1%
		Dominican Republic	53	0	6	0	1	0	0	13.2%	0	1	0	0	0	0	0	0	15.1%
		French Guiana	3	1	1	0	0	0	0	66.7%	0	0	0	0	0	0	0	0	66.7%
		Haiti	22	0	1	0	0	0	0	4.5%	0	0	0	0.0%	0	0	0	0	4.5%
		Jamaica	102	4	15	0	0	0	1	19.6%	0	0	0	0.0%	0	0	0	0	19.6%
		Suriname	16	0	0	0	0	0	0	0.0%	1	0	1	6.3%	0	0	0	0	12.5%
Central America/ América Central		Costa Rica	179	0	0	0	0	0	1	0.6%	11	16	0	0.0%	0	0	0	0	15.6%
		Guatemala	147	9	31	2	0	0	0	28.6%	9	17	3	2.0%	0	0	1	0	49.0%
		Honduras	78	0	49	0	0	0	2	65.4%	0	0	0	0.0%	0	0	0	0	65.4%
		Nicaragua	221	0	0	0	0	0	0	0.0%	0	8	0	0	0	0	0	0	3.6%
		Panama	214	0	0	0	0	0	0	0.0%	12	47	1	0.5%	0	0	1	72	62.1%
Andean/ Andina		Bolivia	894	3	68	85	4	75	10	27.4%	1	23	43	4.8%	0	0	0	0	34.9%
		Colombia	735	0	35	0	0	0	8	5.9%	17	25	114	15.5%	13	18	14	6	34.4%
		Ecuador	286	1	2	0	0	0	3	2.1%	0	3	4	1.4%	0	0	0	0	4.5%
		Ecuador IRAG	249	1	1	0	0	0	2	1.6%	0	3	4	1.6%	0	0	0	0	4.4%
		Peru	479	0	160	0	1	2	0	34.0%	1	0	24	5.0%	0	0	0	2	39.7%
Brazil & Southern Cone/ Brasil y Cono Sur		Argentina	536	0	0	4	0	0	0	0.7%	15	14	73	13.6%	0	0	8	0	21.3%
		Brazil	1,803	111	431	0	0	0	22	31.3%	3	0	20	1.1%	0	0	5	5	33.2%
		Chile	4,037	100	5	26	1	9	6	3.6%	118	319	584	14.5%	0	0	31	0	29.7%
		Chile_IRAG	346	16	1	6	0	1	1	7.2%	9	25	114	32.9%	1	0	9	3	53.8%
		Paraguay	485	5	1	0	0	0	5	2.3%	21	1	191	39.4%	0	0	21	0	50.5%
		Paraguay IRAG	172	1	0	0	0	0	1	1.2%	8	0	90	52.3%	0	0	5	0	61.0%
		Uruguay	126	0	0	0	0	0	0	0.8%	1	2	7	5.6%	0	0	2	0	10.3%
		Uruguay IRAG	61	0	0	0	0	0	0	0.0%	1	1	5	8.2%	0	0	2	0	14.8%
Grand Total			31,056	297	894	690	24	179	989	9.9%	265	611	1,401	4.5%	14	39	199	305	19.0%

Total Influenza B, EW 15-19, 2018

	Total Influenza B	B Victoria	B Yamagata	B linaje no determinado	% B Victoria	% B Yamagata
North America/ América del Norte	1,036	17	92	927	15.6%	84.4%
Caribbean/ Caribe	2	1	0	1	100.0%	0.0%
Central America/ América Central	3	0	0	3		
Andean/ Andina	106	5	77	24	6.1%	93.9%
Brazil & Southern Cone/ Brasil y Cono Sur	46	1	10	35	9.1%	90.9%
Grand Total	1,193	24	179	990	11.8%	88.2%

¹ The detection of respiratory viruses other than influenza depends on the diagnostic capacity of each country and monitoring system. The absence of report of other respiratory viruses does not indicate the absence of their circulation.

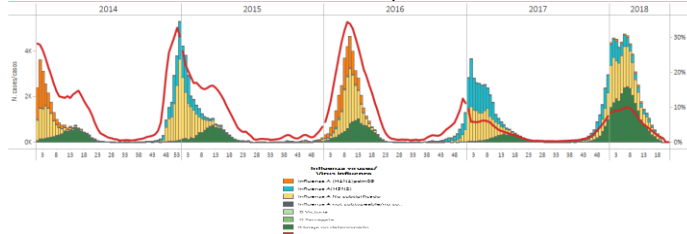
2 La detección de otros virus respiratorios diferentes a influenza depende de la capacidad diagnóstica de cada país y del sistema de vigilancia establecido. El que no se reporten otros virus respiratorios, no significa, ni indica la ausencia de circulación viral.

North America / América del Norte

Canada / Canadá

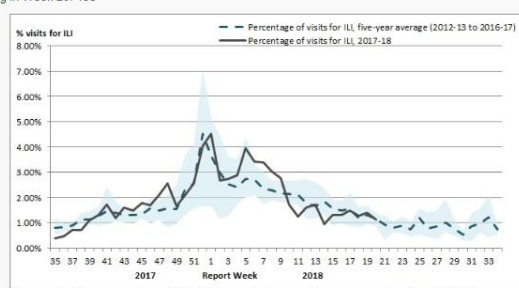
- In EW 22 ILI activity at the national level decreased at the 5-year average (Graph 3). Most of the provinces and territories reported no ILI activity (Graph 4). Influenza detections continued to trend downward (Graph 1 and 2); and influenza B viruses predominated among the influenza detections. RSV positivity steadily decreased in recent weeks. The number of pediatric influenza-associated hospitalizations trended downward (Graph 7). / En la SE 22, la actividad de ETI a nivel nacional disminuyó similar al promedio de 5-años (Gráfico 3). La mayoría de los territorios y provincias reportaron actividad de ETI esporádica (Gráfico 4). Las detecciones de influenza continuaron en descenso (Gráficos 1 y 2); y los virus influenza B predominaron entre las detecciones de influenza. La positividad de VSR aumentó en forma sostenida en semanas recientes. El número de hospitalizaciones pediátricas asociadas a influenza disminuyó (Gráfico 7).

Graph 1. Canada: Influenza virus distribution by EW, 2014-18, EW 22 /
Distribución de virus de influenza por SE, 2014-18. SE 22



Graph 3. Canada: Percentage of ILI visits by sentinel sites, EW 35
2017 – EW 22, 2018 /
Porcentaje de casos de ETI por sitio centinela , SE 35 2017 – SE 22,
2018.

Figure 4 - Percentage of visits for ILI reported by sentinels by report week, Canada, weeks 2017-35 to 2018-2
Number of Sentinels Reporting in Week 20: 155



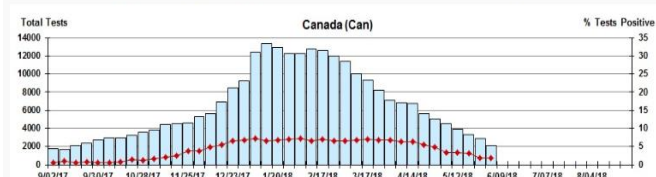
Graph 5. Canada: Cumulative number of influenza positive samples by type and age, 2018, EW 22 /
Número acumulado de muestras positivas para influenza por tipo de
influenza y edad, 2018. SE 22

Table 1 - Cumulative numbers of positive influenza specimens by type, subtype and age-group reported through case-based laboratory reporting, Canada, weeks 2017-35 to 2018-20

Age groups (years)	Cumulative (August 27, 2017 to May 19, 2018)					
	Influenza A			B		Influenza A and B
	A Total	A(H1N1)pdm09	A(H3N2)	A (UnS)	#	%
0-4	3348	178	690	2480	1624	4972 9%
5-19	2566	145	724	1697	2998	5564 10%
20-44	4597	274	1430	2893	3055	7652 14%
45-64	4977	245	1638	3094	5123	10100 18%
65+	15621	160	5841	9620	11006	26627 48%
Total	31109	1002	10323	19784	23806	54915 100%

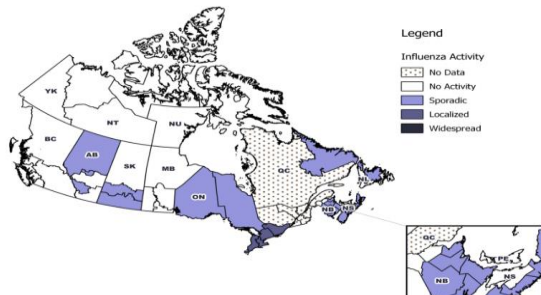
Graph 2. Canada: Respiratory syncytial virus distribution by EW, 2017-2018. EW 22 /
Distribución de virus Sincicial Respiratorio por SE, 2017-2018. SE 22

Figure 3: Positive Respiratory syncytial virus (RSV) Tests (%) in Canada by Region by Week of Report



Graph 4. Canada: Influenza /ILI activity level by province and territory, Canada, EW 22, 2018.
Nivel de actividad de influenza/ETI por provincia y territorio, Canadá, SE 22, 2018.

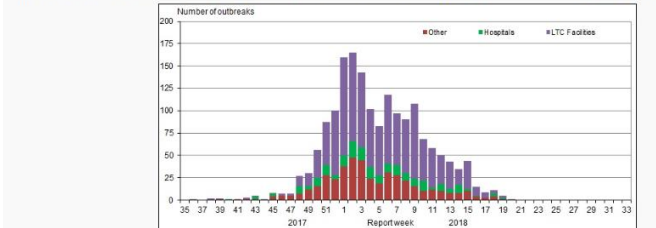
Figure 1 - Map of overall influenza/ILI activity level by province and territory, Canada, week 2018-20



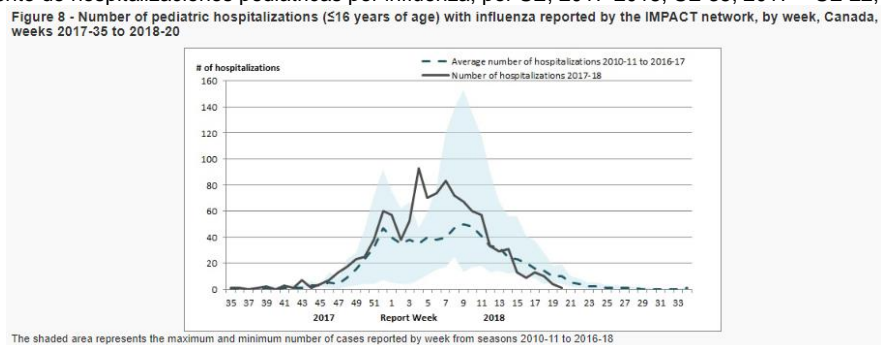
Graph 6. Canada: Number of laboratory-confirmed influenza outbreaks by EW, EW 35, 2017 – EW 22, 2018.

Número de brotes de influenza confirmados por laboratorio, por SE, SE 35, 2017 – SE 22, 2018.

Figure 5 - Number of new outbreaks of laboratory-confirmed influenza by report week, Canada, weeks 2017-35 to 2018-20



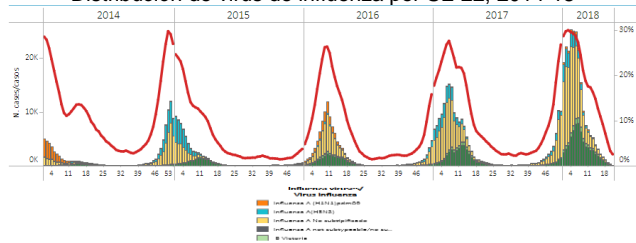
Graph 7. Canada: Number of influenza pediatric hospitalizations (<16 years of age) by EW, 2017-2018, EW 35, 2017 – EW 22, 2018.
Recuento de hospitalizaciones pediátricas por influenza, por SE, 2017-2018, SE 35, 2017 – SE 22, 2018.



United States / Estados Unidos

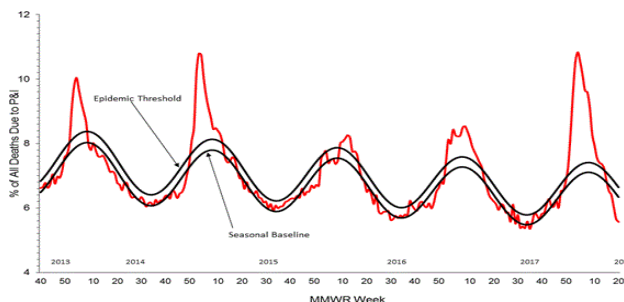
- In EW 22, ILI activity at the national level continued to trend downward (Graph 5). Influenza and RSV detections continued to trend downward (Graph 1,2); and influenza B viruses predominated among the influenza detections. The proportion of pneumonia and influenza deaths among all deaths was below the epidemic threshold (Graph 3). Cumulative influenza-associated hospitalization rates were the highest this season among those 65 years of age and older. / En la SE 22, la actividad de ETI a nivel nacional continuó con tendencia al descenso (Gráfico 5). Las detecciones de influenza y VSR continuaron en descenso (Gráfico 1, 2); y los virus influenza B predominaron entre las detecciones de influenza. La proporción de fallecidos por neumonía e influenza del total de fallecidos se ubicó bajo el umbral epidémico (Gráfico 3). Las tasas acumuladas de hospitalizaciones asociadas a influenza fueron mayores durante esta temporada entre los de 65 años y mayores.

Graph 1. US: Influenza virus distribution by EW 22, 2014-18
Distribución de virus de influenza por SE 22, 2014-18

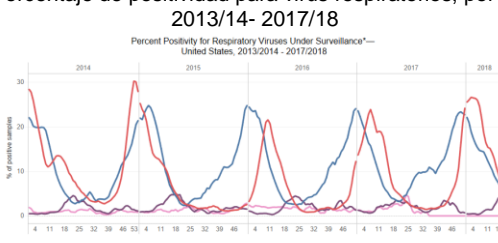


Graph 3. US: Pneumonia and influenza mortality. EW 20, 2018
Mortalidad por neumonía e influenza. SE 20, 2018

Pneumonia and Influenza Mortality from the National Center for Health Statistics Mortality Surveillance System Data through the week ending May 19, 2018, as of June 7, 2018



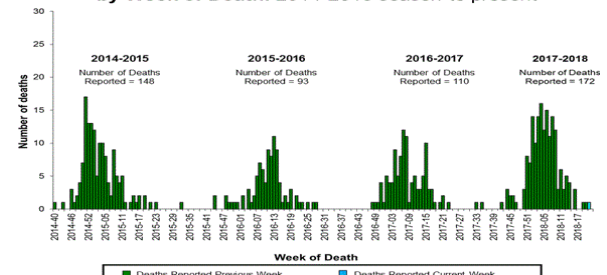
Graph 2. US: Percent positivity for respiratory virus EW 18
Porcentaje de positividad para virus respiratorios, por SE 18, 2013/14 - 2017/18



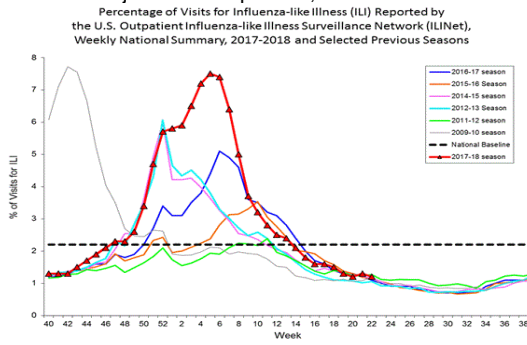
Graph 4. US: Number of influenza-associated pediatric deaths, 2014/15-2017/18, EW 22 /

Número de fallecidos pediátricos asociados a influenza, 2014/15-2017/18, SE 22, 2018.

Number of Influenza-Associated Pediatric Deaths by Week of Death: 2014-2015 season to present



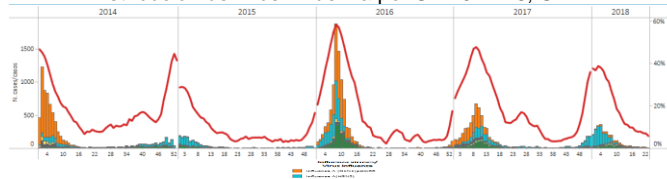
Graph 5. US: Percentage of visits for ILI, 2017-2018. EW 22.
Porcentaje de visitas por ETI, 2017-2018. SE 22.



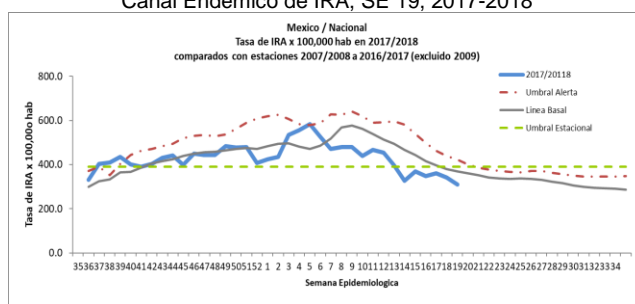
Mexico / México

- In EW 19, ARI and pneumonia counts at the national level, were below historical levels (Graph 3,4). During EW 22, influenza activity continued to decrease and there were no RSV detections (Graph 2). Influenza-associated SAR/ILI counts were below what was observed during most other seasons (Graph 5) as were influenza-associated SARI/ILI deaths (Graph 8). / Durante la SE 19, los recuentos de IRA y neumonía a nivel nacional se ubicaron bajo los niveles históricos (Gráficos 3, 4). Durante la SE 22, la actividad de influenza continuó en descenso y no se reportaron detecciones de VSR (Gráfico 2). Los recuentos de IRAG/ETI asociados a influenza se ubicaron por debajo de lo observado durante la mayoría de las temporadas previas (Gráfico 5) al igual que los casos fallecidos de IRAG/ETI asociados a influenza (Gráfico 8).

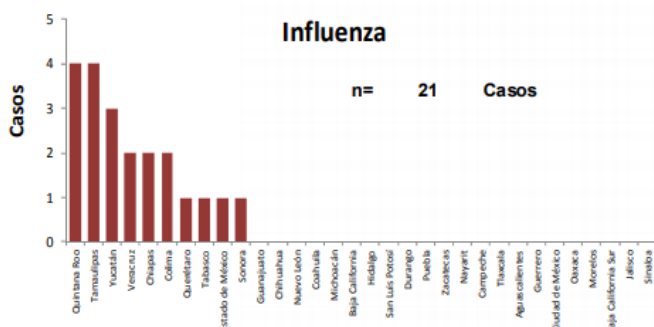
Graph 1. Mexico: Influenza virus distribution by EW 2014-18, EW 22.
Distribución de virus influenza por SE 2014-18, SE 22.



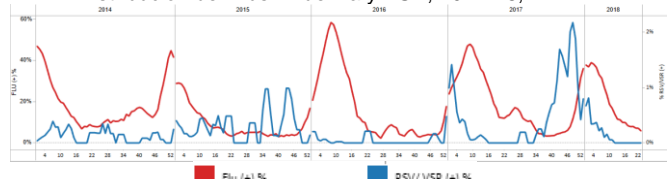
Graph 3. Mexico: ARI Endemic Channel, EW 19, 2017-2018
Canal Endémico de IRA, SE 19, 2017-2018



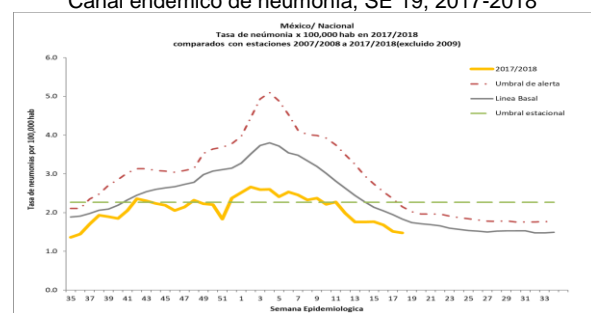
Graph 5. Mexico: Cumulative SARI-flu cases by state, EW 23, 2018
Casos acumulados de IRAG positivos para influenza por estado, SE 23, 2018



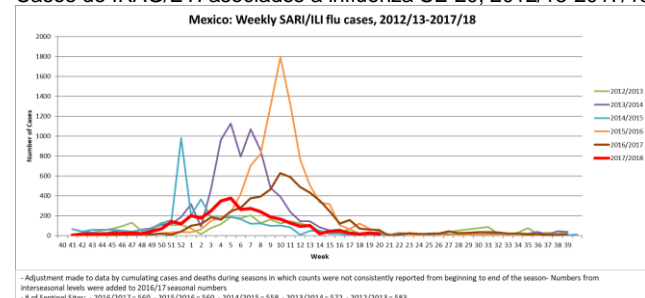
Graph 2. Mexico: Influenza and RSV distribution, 2014-18, EW 22.
Distribución de virus influenza y VSR, 2014-18, EW 22



Graph 4. Mexico: Pneumonia Endemic Channel, EW 19 2017-2018.
Canal endémico de neumonía, SE 19, 2017-2018



Graph 6. Mexico: SARI/ILI-flu cases EW 20, 2012/13-2017/18
Casos de IRAG/ETI asociados a influenza SE 20, 2012/13-2017/18



Graph 7. Mexico: Cumulative influenza cases and deaths by state.

EW 23, 2018

Proporción acumulada de casos y defunciones por influenza según estado. SE 23, 2018

Tabla 4. Proporción de casos positivos y defunciones por influenza según entidad federativa. México, 2018

Entidad Federativa	Casos ETI/IRAG	Casos positivos a influenza	%*	Defunciones por influenza	Entidad Federativa	Casos ETI/IRAG	Casos positivos a influenza	%*	Defunciones por influenza
AGUASCALIENTES	39	0	0.0	0	MORELOS	20	0	0.0	0
BAJA CALIFORNIA	12	0	0.0	0	NAYARIT	12	0	0.0	0
BAJA CALIFORNIA SUR	17	0	0.0	0	NUEVO LEÓN	23	0	0.0	0
CAMPECHE	20	0	0.0	0	OAXACA	33	0	0.0	0
COAHUILA	18	0	0.0	0	PUEBLA	25	0	0.0	0
COLIMA	32	2	6.3	0	QUERÉTARO	27	1	3.7	0
CHIAPAS	46	2	4.3	0	QUINTANA ROO	75	4	5.3	0
CHIHUAHUA	19	0	0.0	0	SAN LUIS POTOSÍ	25	0	0.0	0
Ciudad de México	88	0	0.0	0	SINALOA	13	0	0.0	0
DURANGO	5	0	0.0	0	SONORA	15	1	6.7	0
GUANAJUATO	8	0	0.0	0	TABASCO	26	1	3.8	0
GUERRERO	51	0	0.0	0	TAMAULIPAS	11	4	36.4	0
HIDALGO	21	0	0.0	0	TLALCALA	30	0	0.0	0
JALISCO	18	0	0.0	0	VERACRUZ	106	2	1.9	0
ESTADO DE MÉXICO	77	1	1.3	0	YUCATÁN	41	3	7.3	0
MICHOACÁN	38	0	0.0	0	ZACATECAS	30	0	0.0	0
					Total general	1,021	21	2.1	0

*% de casos positivos a influenza respecto a los casos ETI/IRAG

Fuente: SINAVE/DGE/Sistema de Vigilancia Epidemiológica de Influenza, acceso al 7/6/2018.

% de casos positivos a influenza respecto a los casos de ETI/IRAG / % influenza-positive cases among ILI/SARI

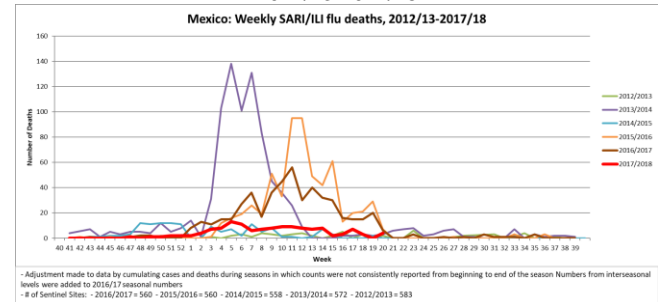
○ >10% de casos positivos / >10% positivity

○ >15% de casos positivos / >15% positivity

Graph 8. Mexico: SARI/ILI-flu deaths EW 20, 2012/13- 2017/18

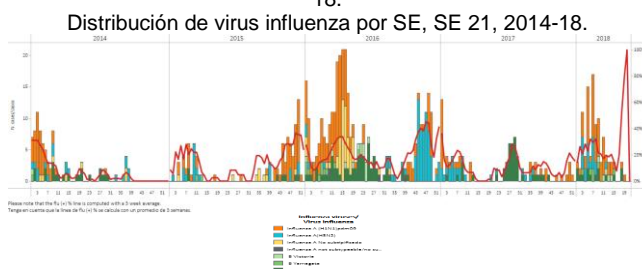
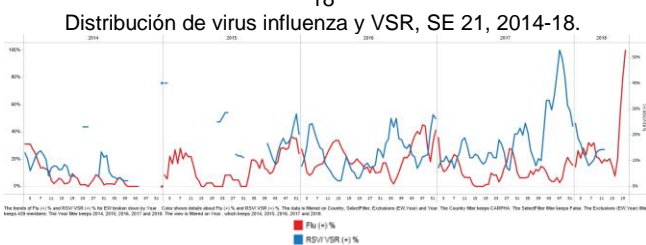
Casos fallecidos por IRAG/ETI asociados a Influenza SE 20,

2012/13-2017/18



CARPHA (Aruba, Dominica, Trinidad & Tobago)

- During EW 21, decreased influenza detections were reported with influenza A(H1N1)pdm09 and B co-circulating in recent weeks (Graph 1). The proportion of influenza positive samples increased, while RSV proportion was similar as compared to levels observed during the 2017 season for the same period (Graph 2). Influenza A(H1N1)pdm09 was reported in Aruba and Trinidad & Tobago, and influenza B circulated in Dominica in previous weeks (Graph 3). / Durante la SE 21, se reportaron mayores detecciones de influenza con co-circulación de influenza A(H1N1)pdm09 y B en semanas previas (Gráfico 1). La proporción de muestras positivas para influenza disminuyó, en tanto la proporción de VSR fue similar en relación a los niveles observados durante la temporada 2017 para el mismo período (Gráfico 2). Se reportó influenza A(H1N1)pdm09 en Aruba y Trinidad & Tobago, e influenza B circuló en Dominica en semanas recientes (Gráfico 3).

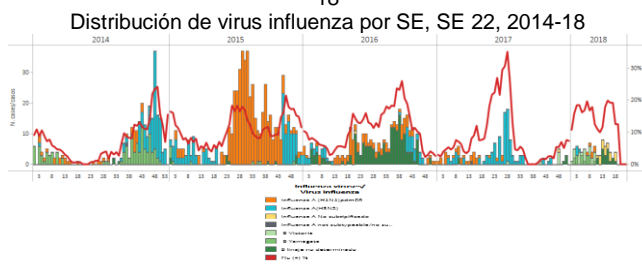
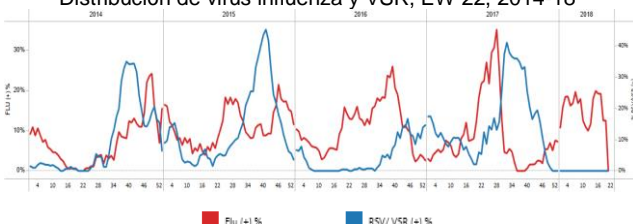
Graph 1. CARPHA. Influenza virus distribution EW, EW 21, 2014-18.**Graph 2.** CARPHA. Influenza and RSV distribution, EW 21, 2014-18.**Graph 3.** Países de CARPHA: Datos reportados entre la SE 18-19

CARPHA Countries: Data reported between EW 18-19

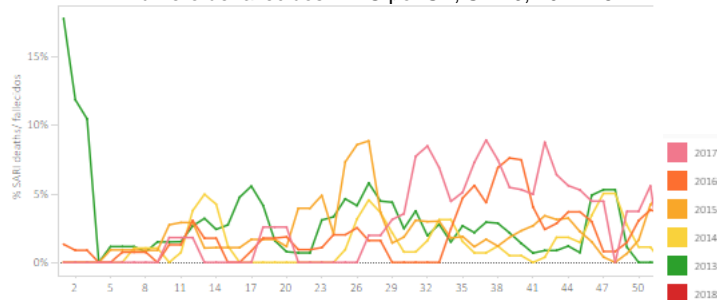
	N samples/ muestas	Influenza A(H1N1) pdm09	Influenza A (H1N1) pdm09	Influenza A No subtipificado	Total Influenza B	Influenza (+) %	Adenovirus	RSV/VSR	% RSV/VSR (+)	Bocavirus*	Coronaviru... se	Metapneu... se	Rinovirus*	Parainfluen... se	% All Positive Samples (+)
Aruba	1	1		0	100.0%				0	0	0	0	0	0	100.0%
Dominica	3			2	66.7%				0	0	0	0	0	0	66.7%
Trinidad and Tobago	2		1	0	50.0%				0	0	0	0	0	0	50.0%
Grand Total	6	2		2	66.7%				0	0	0	0	0	0	66.7%

Cuba

- During EW 22, slightly decreased influenza detections were reported, with influenza A(H1N1)pdm09 and B co-circulating in the previous weeks (Graph 1); while there were no RSV detections (Graph 2). The SARI deaths decreased and were lower than in the 2014-2017 seasons for the same period (Graph 3). / Durante la SE 22, se reportó ligero descenso en las detecciones de influenza, con co-circulación de influenza A(H1N1)pdm09 y B en las semanas previas (Gráfico 1); en tanto no se detectaron muestras de VSR (Gráfico 2). Las muertes asociadas a IRAG disminuyeron y fueron menores que en las temporadas 2014-2017 para el mismo período (Gráfico 3).

Graph 1. Cuba: Influenza virus distribution by EW, EW 22, 2014-18.**Graph 2.** Cuba Influenza and RSV distribution, EW 22, 2014-18.

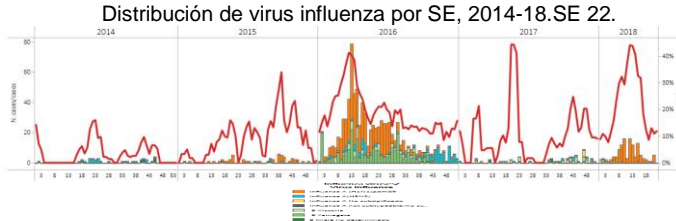
**Graph 3. Cuba: Number of SARI deaths by EW, EW 19, 2014-18
Número de fallecidos IRAG por SE, SE 19, 2014-18**



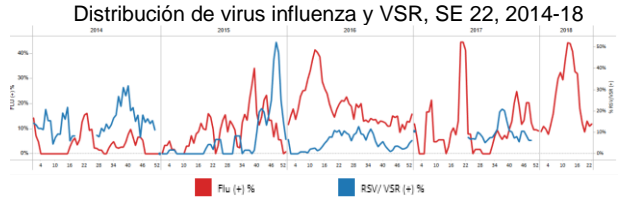
Dominican Republic / República Dominicana

- During EW 22, slightly increased influenza detections were reported, and influenza A(H1N1)pdm09 predominated in previous weeks (Graph 1); RSV data were not reported this week (Graph 2). Influenza positivity continued below the alert threshold (Graph 3). During EW 18, the number of SARI cases slightly decreased from previous weeks (Graph 4), with a high percentage of influenza positive samples. The SARI and influenza-associated SARI cases predominated among the <5 years old (Graph 5). / Durante la SE 22 de 2018, se reportaron ligeramente mayores detecciones de influenza, influenza A(H1N1)pdm09 predominó en las previas semanas (Gráfico 1); no se reportó actividad de VSR durante esta semana (Gráfico 2). La positividad de influenza continuó bajo el umbral de alerta (Gráfico 3). Durante la SE 18, el número de casos de IRAG disminuyó ligeramente en relación a semanas previas (Gráfico 4), con un alto porcentaje de muestras positivas para influenza. Los casos de IRAG y los casos de IRAG asociados a influenza predominaron en los <5 años (Gráfico 5).

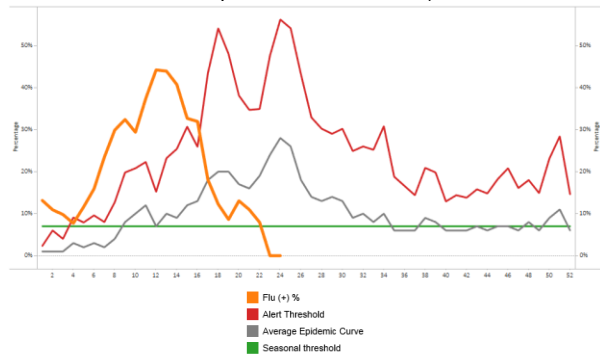
Graph 1. Dominican Republic: Influenza virus distribution EW, 2014-18. EW 22.
Distribución de virus influenza por SE, 2014-18. SE 22.



Graph 2. Dominican Republic Influenza and RSV distribution, EW 22, 2014-18
Distribución de virus influenza y VSR, SE 22, 2014-18



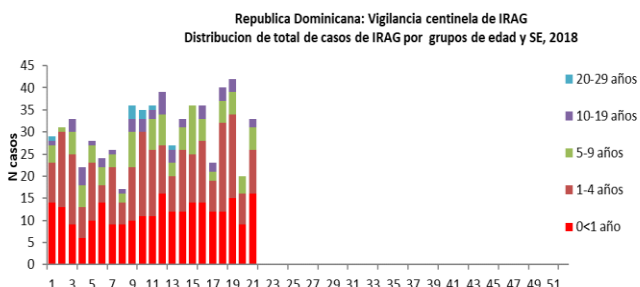
Graph 3. Dominican Republic: Percent positivity for influenza, EW 22, 2018 (in comparison to 2010-2017)
Porcentaje de positividad de influenza, SE 22, 2018 (en comparación a 2010-2017)



Graph 4. Dominican Republic: Percent of SARI cases out of total hospitalizations, by EW, EW 18, 2018
Porcentaje de casos de todos IRAG por EW, EW 18, 2018



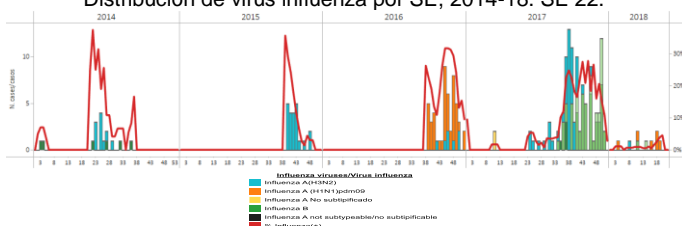
Graph 5. Dominican Republic: SARI cases by age group and by EW, EW 21, 2018
Casos de IRAG por grupo de edad y SE, SE 21, 2018



Haiti

- From EW 14 to EW 21, there were five influenza detections, four influenza A(H1N1)pdm09 and one influenza B (Graph 1), with no detections in EW 22. During EW 22, the number of SARI hospitalization decreased, as compared to previous weeks; and was lower than the levels observed in 2017 for the same period (Graph 2). Most of the cases were among the <5 years old infants (Graph 3). / Desde la SE 14 a la SE 22, se reportaron cinco detecciones de influenza, cuatro influenza A(H1N1)pdm09 y uno influenza B (Gráfico 1), sin detecciones durante la SE 22. Durante la SE 22, el número de hospitalizaciones por IRAG disminuyó, en relación con las semanas previas; y fue menor a los niveles observados en 2017 para el mismo período (Gráfico 2). La mayoría de los casos se reportaron en niños menores de 5 años (Grafico 3).

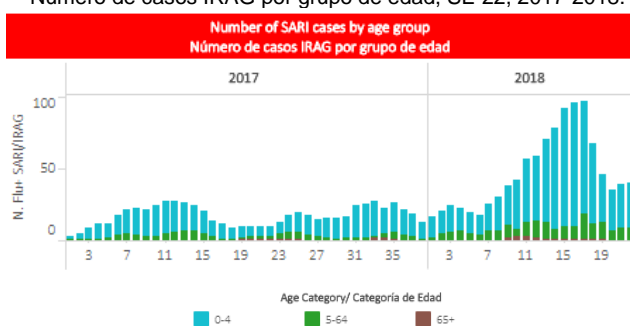
Graph 1. Haiti: Influenza virus distribution EW, 2014-18. EW 22.
Distribución de virus influenza por SE, 2014-18. SE 22.



Graph 2. Haiti: Number of SARI cases, EW 22, 2017-2018. /
Número de casos IRAG, SE 22, 2017-2018.



Graph 3. Haiti: Number of SARI cases by age group, EW 22, 2017-2018. /
Número de casos IRAG por grupo de edad, SE 22, 2017-2018.

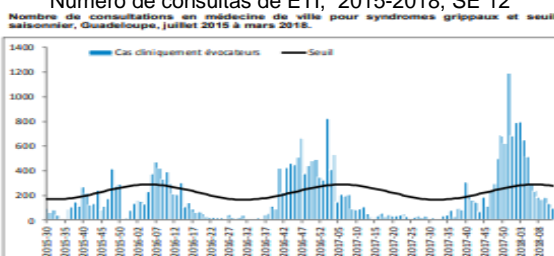


French Territories / Territorios Franceses

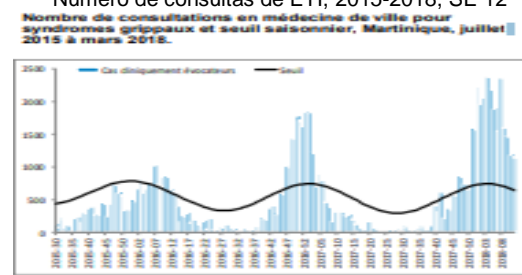
- Graph 1,2. Guadeloupe:** During EW 12, the number of ILI consultations decreased below the maximum expected level. Bronchiolitis consultations also decreased below the maximum expected level. / Durante la SE 12, el número de casos de ETI disminuyó bajo nivel máximo esperado. Las consultas por bronquiolitis disminuyeron también sobre el máximo nivel esperado.
- Graph 3,4. Martinique:** During EW 12, the number of ILI consultations decreased above the maximum expected level, and bronchiolitis consultations decreased and were above the maximum expected level. / **Martinica:** Durante la SE 12, el número de consultas por ETI disminuyó sobre el nivel máximo esperado, y el número de consultas por bronquiolitis disminuyó por sobre el máximo esperado.

- Graph 5. Guyane.** During EW 8, 2018 and in previous weeks, the number of ILI consultations decreased and was higher than the 2017 season for the same period. / **Guyane:** Durante la SE 8 de 2018 y en semanas previas, el número de consultas por ETI disminuyó y fue mayor a la temporada 2017 para el mismo período.
- Graph 6. French Guyana.** During EW 22, 2018, influenza percent positivity decreased, but the overall number of samples tested was very low; influenza A(H1N1)pdm09, A(H3N2) and influenza B Yamagata lineage co-circulated. / Durante la SE 22 de 2018, el porcentaje de positividad de influenza disminuyó, pero el número total de muestras estudiadas fue muy bajo; co-circularon influenza A(H1N1)pdm09, A(H3N2) e influenza B linaje Yamagata.
- Graph 7,8. Saint-Barthélemy:** During EW 12, the number of ILI consultations increased above the maximum expected level, and bronchiolitis consultations decreased and were above the maximum expected level. / **Saint- Barthélemy:** Durante la SE 12, el número de consultas por ETI disminuyó sobre el nivel máximo esperado, y el número de consultas por bronquiolitis disminuyó por sobre el máximo esperado.
- Graph 9,10. Saint Martin:** During EW 12, the number of ILI consultations increased as compared to previous weeks, and bronchiolitis consultations remained at similar levels from recent weeks. / **Saint Martin:** Durante la SE 12, el número de consultas por ETI aumentó en relación a semanas previas, y el número de consultas por bronquiolitis permaneció similar a las semanas recientes.

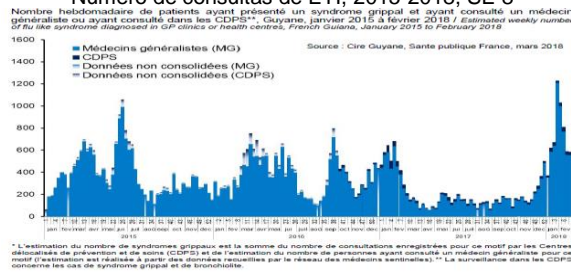
Graph 1. Guadeloupe: Number of ILI consultations, 2015-2018, EW 12
Número de consultas de ETI, 2015-2018, SE 12



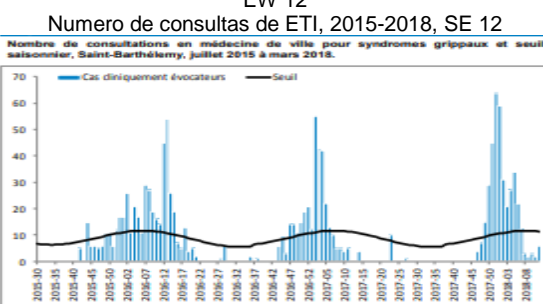
Graph 3. Martinique: Number of ILI consultations, 2015-2018, EW 12
Número de consultas de ETI, 2015-2018, SE 12



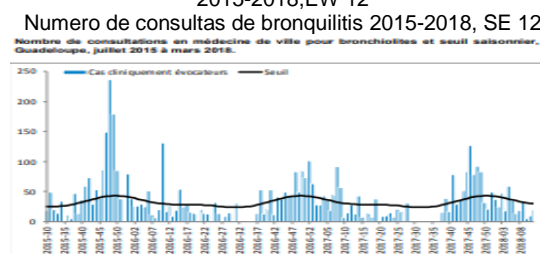
Graph 5. Guyana: Number of ILI consultations, 2015-2018, EW 8
Número de consultas de ETI, 2015-2018, SE 8



Graph 7. Saint Barthélemy: Number of ILI consultations, 2015-2018, EW 12
Número de consultas de ETI, 2015-2018, SE 12



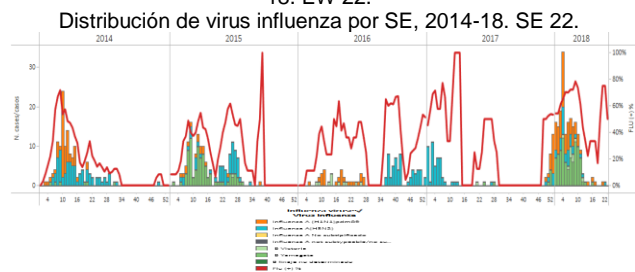
Graph 2. Guadeloupe, Number of bronchiolitis consultations 2015-2018,EW 12
Número de consultas de bronquiolitis 2015-2018, SE 12



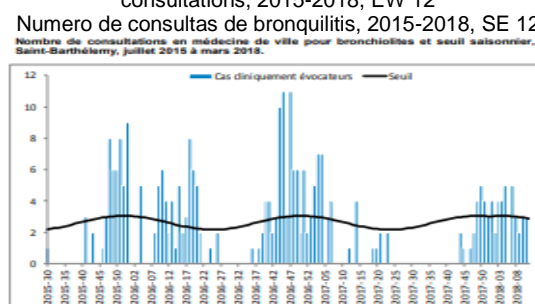
Graph 4. Martinique, Number of bronchiolitis consultations, 2015-2018, EW 12
Número de consultas de bronquiolitis, 2015-2018, SE 12



Graph 6. French Guiana: Influenza virus distribution EW, 2014-18. EW 22.
Distribución de virus influenza por SE, 2014-18. SE 22.

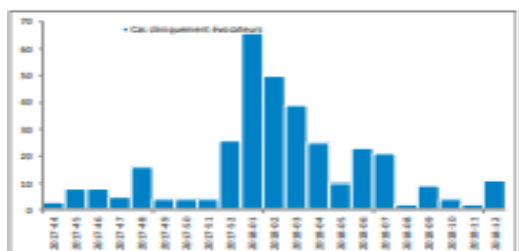


Graph 8. Saint Barthélemy: Number of bronchiolitis consultations, 2015-2018, EW 12
Número de consultas de bronquiolitis, 2015-2018, SE 12



Graph 9. Saint Martin: Number of ILI consultations, 2015-2018, EW 12

Número de consultas de ETI, 2015-2018, SE 12
Nombre de consultations en médecine de ville pour syndromes grippaux, Saint-Martin, octobre 2017 à mars 2018.



Graph 10. Saint Martin : Number of bronchiolitis consultations, 2015-2018, EW 12

Numero de consultas de bronquiolitis, 2015-2018, SE 12
Nombre de consultations en médecine de ville pour bronchiolites, Saint-Martin, octobre 2017 à mars 2018.

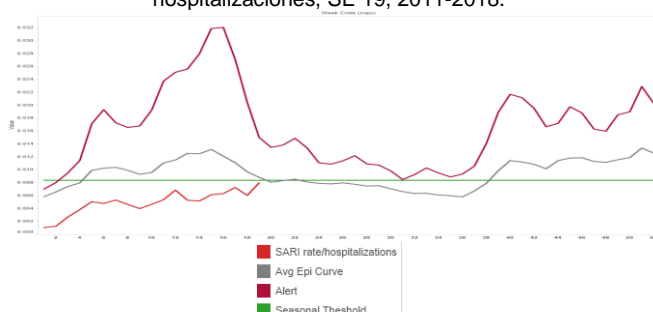


Jamaica

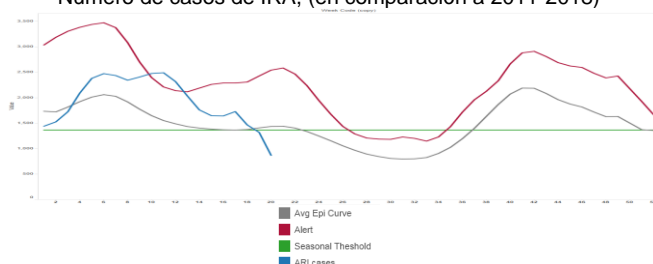
- During EW 19, SARI and pneumonia activity were below the seasonal threshold, similar to the previous seasons 2011-2017 for the same period (Graphs 1,2). During EW 22, slightly decreased influenza activity was reported; influenza A(H1N1)pdm09 and A(H3N2) co-circulated (Graph 4) in recent weeks. / Durante la SE 19 de 2018, las actividades de IRAG y neumonía permanecieron bajo el umbral estacional, similar en relación a las temporadas previas 2011-2017 para el mismo período (Gráficos 1, 2). Durante la SE 22, se reportó ligeramente menor actividad de influenza; co-circularon influenza A(H1N1)pdm09 e influenza A(H3N2) en semanas previas (Gráfico 4).

Graph 1. Jamaica: % SARI hospitalizations among total hospitalizations, EW 19, 2011-2018. /

% hospitalizaciones de casos IRAG entre total de hospitalizaciones, SE 19, 2011-2018.

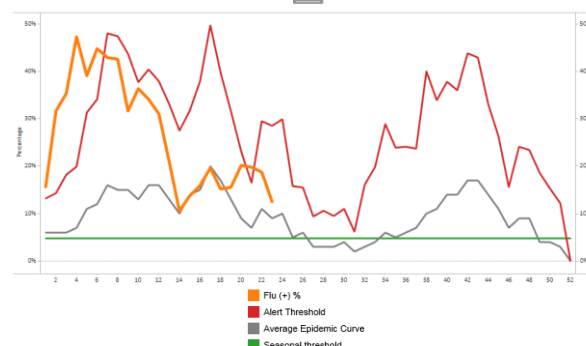


Graph 3. Jamaica: Number of ARI cases (compared to 2011-2018)
Número de casos de IRA, (en comparación a 2011-2018)



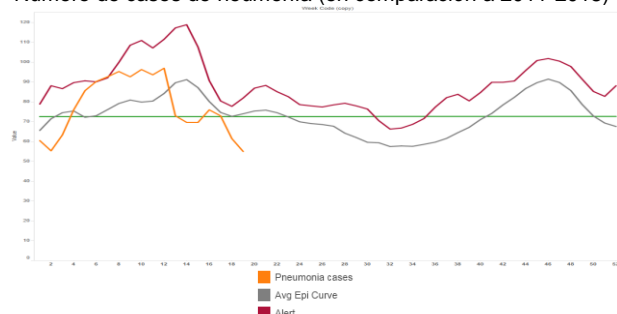
Graph 5. Jamaica: Percent positivity for influenza, EW 22, 2018 (in comparison to 2010-2017)

Porcentaje de positividad de influenza, SE 22, 2018 (en comparación a 2010-2017)



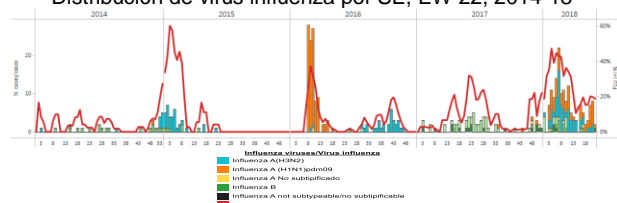
Graph 2. Jamaica: Number of pneumonia cases (compared to 2011-2018)

Número de casos de neumonía (en comparación a 2011-2018)



Graph 4. Jamaica: Influenza virus distribution by EW, EW 22, 2014-18

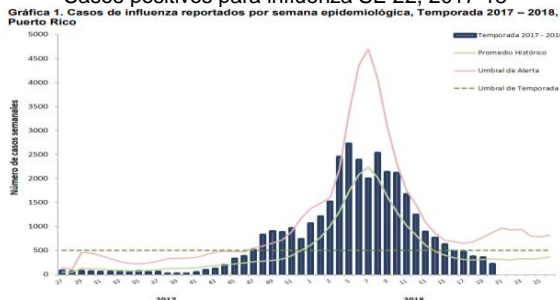
Distribución de virus influenza por SE, EW 22, 2014-18



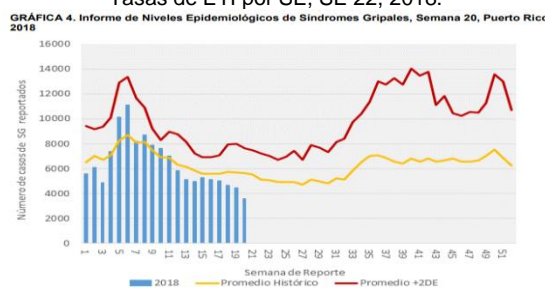
Puerto Rico

- During EW 22, influenza detections decreased below the seasonal threshold. Influenza A(H3N2), A(H1N1)pdm09 and B co-circulated (Graph 1,2). ILI activity remained below the average epidemic curve (Graph 3). / Durante la SE 22, las detecciones de influenza disminuyeron bajo el umbral estacional. Co-circularon influenza A(H3N2), A(H1N1)pdm09 y B (Gráfico 1,2). La actividad del ETI se mantuvo por debajo de la curva epidémica media (Gráfico 3).

Graph 1. Puerto Rico: Influenza-positive cases by EW 22, 2017-18
Casos positivos para influenza SE 22, 2017-18



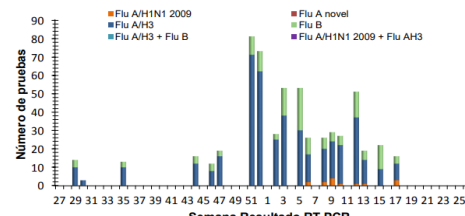
Graph 3. Puerto Rico: ILI epidemic rates by EW 22, 2018 /
Tasas de ETI por SE, SE 22, 2018.



Graph 2. Puerto Rico: PCR influenza-positive results by subtype by EW, 2017-2018. EW 22. /

Resultados de PCR positivos para influenza por subtipo y SE, 2017-2018, SE 22.

GRÁFICA 5. Resultados de RT-PCR por semana de resultado Puerto Rico, Temporada 2017 - 2018



Graph 4. Informe de Niveles Epidemiológicos de Síndromes Gripales, Semana 20, Puerto Rico

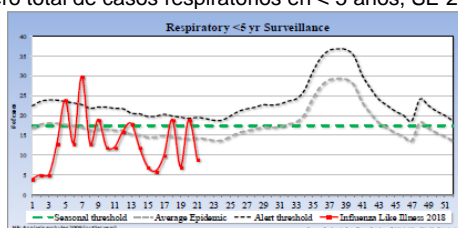


Saint Lucia

- During EW 21, 2018, the number of cases with respiratory symptoms among children under 5 years of age and among 5 years-of-age and older were below the seasonal levels (Graph 1,2). During EW 20, SARI activity was similar as compared to the 2016-2017 seasons (Graph 5), with 47.1% of all SARI admissions among the 1 to 4 years of age population (Graph 3). / Durante la SE 21 de 2018, el número de casos con síntomas respiratorios en niños menores de 5 años de edad y de niños de 5 años se reportaron bajo los niveles estacionales (Gráfico 1,2). Durante la SE 20, la actividad de IRAG es similar en comparación con las temporadas 2016-2017 (Gráfico 5), con el 47,1% del total de admisiones por IRAG entre el grupo de 1 y 4 años de edad (Gráfico 3).

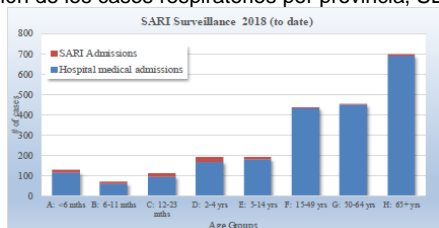
Graph 1. Saint. Lucia: Total number of respiratory cases in <5 years of age, EW 21, 2018

Número total de casos respiratorios en < 5 años, SE 21, 2018



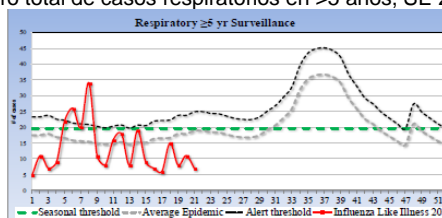
Graph 3. Saint. Lucia: Distribution of respiratory cases by age groups, EW 21, 2018

Distribución de los casos respiratorios por provincia, SE 21, 2018

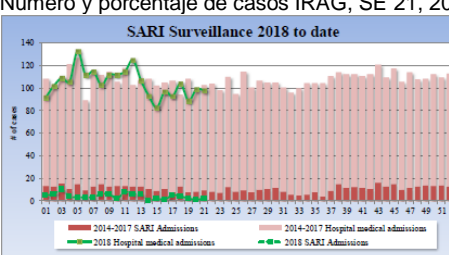


Graph 2. Saint. Lucia: Total number of cases for respiratory symptoms in >5 years og age, EW 21, 2018

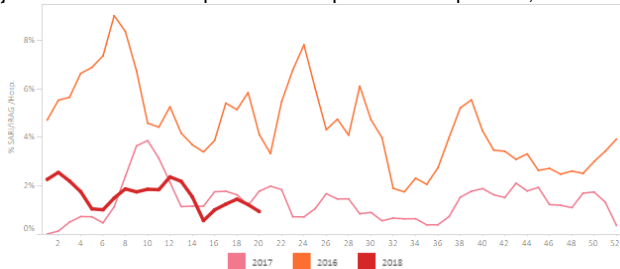
Número total de casos respiratorios en >5 años, SE 21, 2018



Graph 4. Saint. Lucia: Number and % of SARI cases, EW 21, 2018 / Número y porcentaje de casos IRAG, SE 21, 2018



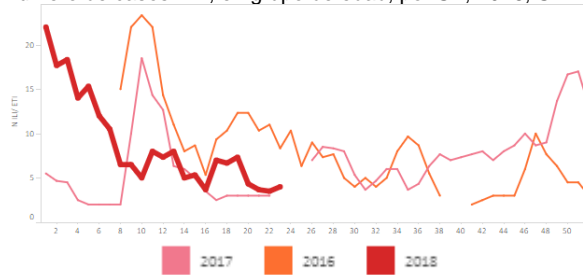
Graph 5. Saint Lucia: Percent of SARI cases per total hospitalizations by year, 2016-2018, EW 20. / Porcentaje de casos de IRAG por todos hospitalizaciones por año, 2016-2018, SE 20.



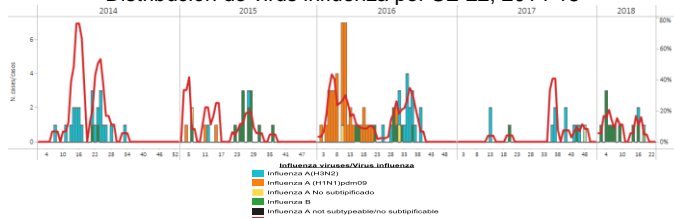
Suriname

- During EW 22, 2018, ILI case counts slightly increased and SARI-related hospitalizations decreased from previous weeks and were similar, as compared to the 2017 season, for the same period (Graph 1, 2). During EW 22, influenza activity remained low with influenza A(H3N2) and B co-circulating, but the number of samples tested were low (Graph 3, 5); low RSV detections were also reported (Graph 4). / Durante la SE 22 de 2018, el número de casos de ETI aumentó ligeramente y las hospitalizaciones relacionadas con IRAG disminuyeron en relación a semanas previas y fueron similares, en comparación a los niveles observados en la temporada 2017 para el mismo período (Gráfico 1, 2). Durante la SE 22, la actividad de influenza se mantuvo baja con co-circulación de influenza A(H3N2) y B, pero el número de muestras estudiadas fue bajo (Gráfico 3, 5); bajas detecciones de VSR fueron también reportadas (Gráfico 4).

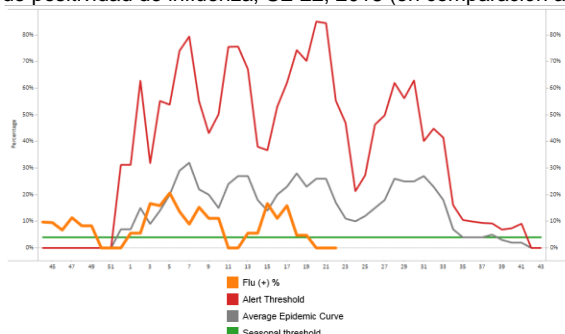
Graph 1. Suriname: Number of ILI cases, by age, by EW, 2018.EW 22
Número de casos ETI, en grupo de edad, por SE, 2018, SE 22



Graph 3. Suriname: Influenza virus distribution by EW 22, 2014-18
Distribución de virus influenza por SE 22, 2014-18



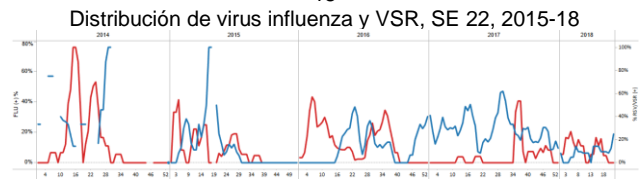
Graph 5. Suriname: Percent positivity for influenza, EW 22,2018 (in comparision to 2010-2017)
Porcentaje de positividad de influenza, SE 22, 2018 (en comparación a 2010-2017)



Graph 2. Suriname: % SARI hospitalizations per total hospitalizations, by EW, 2018.EW 22.
Casos % de hospitalizaciones IRAG entre todas las hospitalizaciones, por SE, 2018.SE 22.



Graph 2. Suriname: Influenza and RSV distribution, EW 22, 2015-18
Distribución de virus influenza y VSR, SE 22, 2015-18

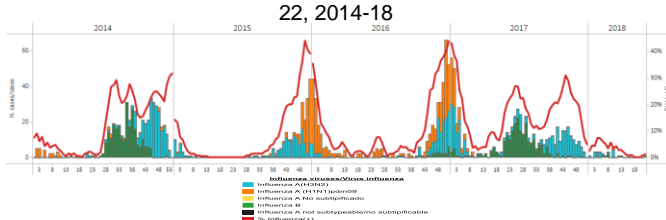


Costa Rica

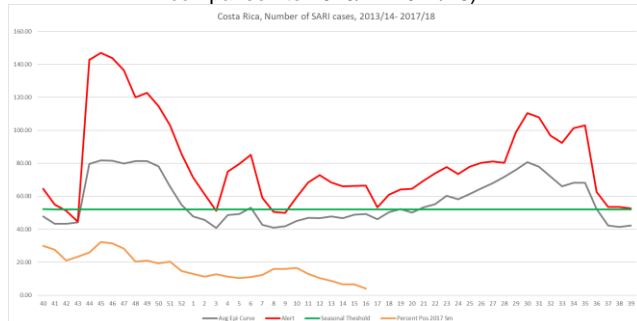
- During EW 19, in Costa Rica, the number of SARI cases continued to decrease and were below seasonal levels (Graph 3). Influenza activity decreased, as compared to the previous week with influenza A(H3N2) predominating. Influenza activity during EW 22, 2018 was similar to the 2017 season for the same period and RSV activity remained at low levels (Graph 1, 2). / Durante la SE 19, en Costa Rica, el número de casos de IRAG continuó en disminución y se ubicó por debajo de los niveles estacionales (Gráfico 3). La actividad de influenza disminuyó, en comparación con la semana previa con predominio de influenza A(H3N2). La actividad de influenza durante la SE 22 fue similar a la temporada 2017 para el mismo período y la actividad de VSR permaneció a niveles bajos (Gráficos 1, 2).

Graph 1. Costa Rica: Influenza virus distribution, Lab-confirmed samples, by EW 22, 2014-18

Distribución de virus influenza, confirmados por laboratorio, hasta SE

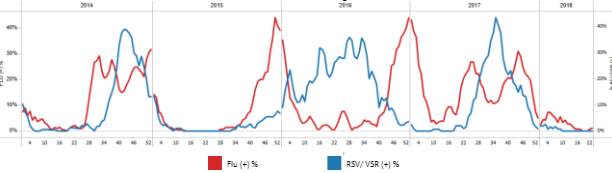


Graph 3. Costa Rica: Number of SARI cases, SE 15, 2017/2018 (in comparison to 2013/14-2017/18)

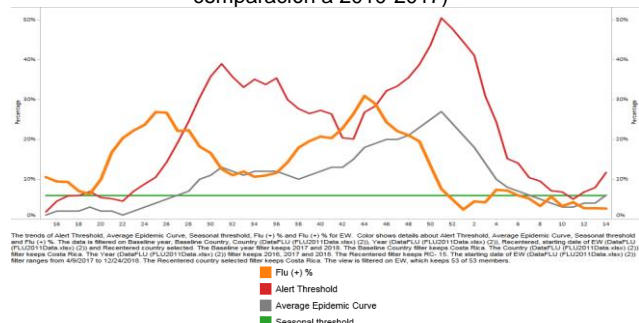


Graph 2. Costa Rica: Influenza and RSV distribution, EW 22
2015-18

Distribución de virus influenza y VSR, SE 22, 2015-18



Graph 4. Costa Rica: Percent positivity for influenza, EW
14,2017-18 (in comparision to 2010-2017)
Porcentaje de positividad de influenza, SE 14, 2017-18 (en
comparación a 2010-2017)



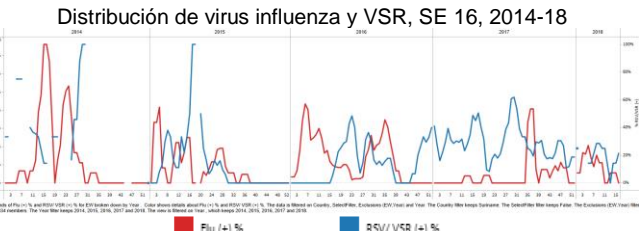
El Salvador

- During EW 16, influenza activity decreased and remained below the alert threshold with influenza B predominating in previous weeks (Graphs 1, 3). RSV positivity remained lower than the levels observed in the previous season (Graph 2). During EW 16, 2018 SARI case counts slightly increased while pneumonia case counts decreased from the previous weeks and were lower to levels observed in the 2016-2017 seasons (Graph 4, 5) / Durante la SE 16 la actividad de influenza disminuyó, con predominio de influenza B en semanas previas (Gráficos 1, 3). La positividad de VSR permaneció menor a los niveles observados en la temporada anterior (Gráfico 2). Durante la SE 16 de 2018, los casos IRAG aumentaron ligeramente en tanto los casos de neumonía disminuyeron en relación a los de las semanas anteriores y fueron menores a los niveles registrados en las temporadas 2016-2017 (Gráficos 4, 5).

Graph 1. El Salvador: Influenza virus distribution, EW 16, 2014-18
Distribución de virus influenza, SE 16, 2014-18

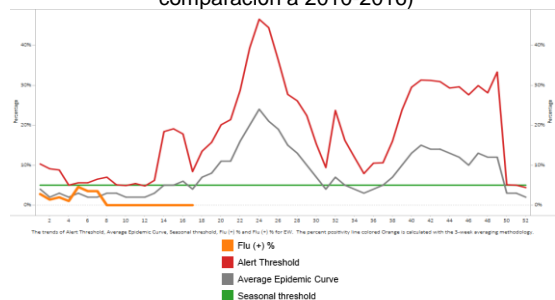


Graph 2. El Salvador: Influenza and RSV distribution, EW 16, 2014-18



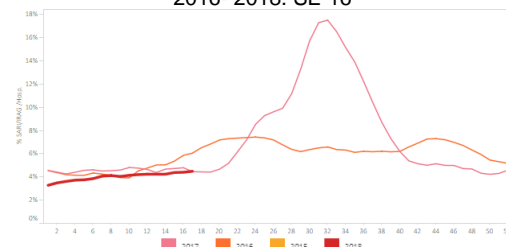
Graph 3. El Salvador: Percent positivity for influenza, EW 16, 2018
(in comparision to 2010-2016)

Porcentaje de positividad de influenza, SE 16, 2018 (en
comparación a 2010-2016)

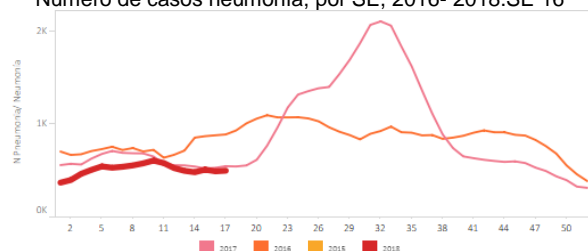


Graph 4. El Salvador: Percent of SARI cases out of total hospitalizations, by EW, 2016- 2018. EW 16.

Porcentaje de casos por IRAG de todos hospitalizaciones, por SE, 2016- 2018. SE 16



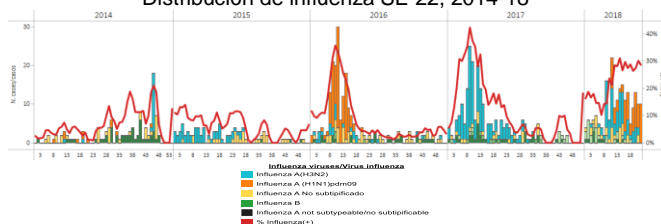
Graph 5. El Salvador: Number of pneumonia cases, by EW, 2016- 2018.EW 16.
Número de casos neumonía, por SE, 2016- 2018.SE 16



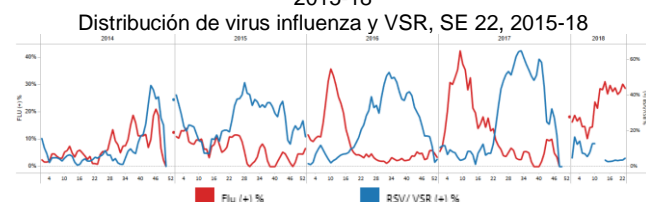
Guatemala

- During EW 22, 2018 and in recent weeks, a steady increase in influenza detections was reported with influenza A(H1N1)pdm09 and A(H3N2) predominating in recent weeks (Graph 1). Influenza positivity was above the alert threshold, as compared to the 2010-2017 period (Graph 3). The influenza proportion was similar to the previously reported levels from 2016-2017 season for the same period, while RSV activity remained at low levels (Graph 2). During EW 23, pneumonia activity continued low (Graph 4). Up to EW 19, the percent of SARI cases (7%) was similar to the 2017 season for the same period, with the highest proportion among <5 years old population (Graphs 5, 6). / Durante la SE 22 de 2018 y en semanas recientes, se reportó un aumento sostenido de las detecciones de influenza con predominio de influenza A(H1N1)pdm09 y A(H3N2) (Gráfico 1). La positividad de influenza se ubicó sobre el umbral de alerta respecto al período 2010-2017 para la SE 22 (Gráfico 3). La proporción de influenza fue similar a los niveles reportados de la temporada 2016-2017, para el mismo período, en tanto la actividad de VSR permaneció a niveles bajos (Gráfico 2). Durante la SE 23, la actividad de neumonía se mantuvo baja (Gráfico 4). Hasta la SE 19, el porcentaje de casos IRAG (7%) fue similar a la temporada 2017 para el mismo período, con la mayor proporción en la población < de 5 años (Gráficos 5, 6)

Graph 1. Guatemala. Influenza virus distribution EW 22, 2014-18
Distribución de influenza SE 22, 2014-18

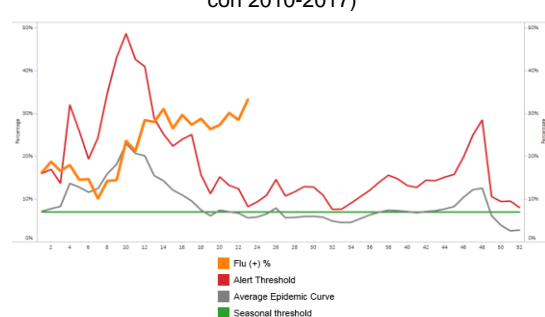


Graph 2. Guatemala: Influenza and RSV distribution, EW 22, 2015-18
Distribución de virus influenza y VSR, SE 22, 2015-18



Graph 3. Guatemala: Percent positivity for influenza, EW 22, 2018 (in
comparision to 2010-2017)

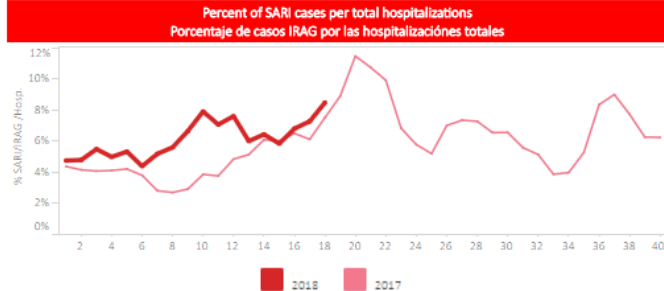
Porcentaje de positividad de influenza, SE 22, 2018 (en comparación
con 2010-2017)



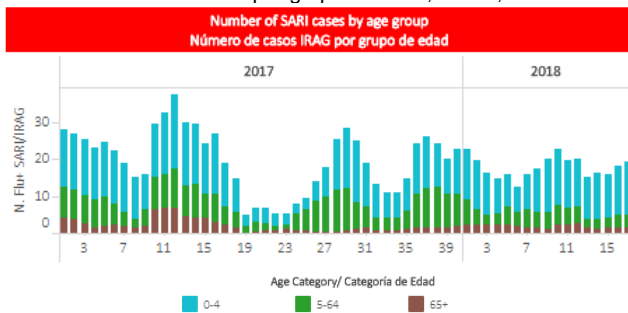
Graph 4. Guatemala: Number of pneumonia cases, EW 23, 2018
Número de casos neumonía, SE 23, 2018



Graph 5. Guatemala: Percent of SARI cases per total hospitalizations, EW 19, 2017-2018. /
Porcentaje de casos IRAG de las hospitalizaciones totales, SE 19, 2017-2018.



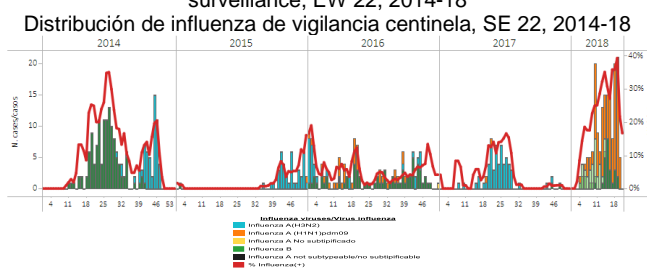
Graph 6. Guatemala: Number of SARI cases by age group, EW 19, 2017-2018. /
Número de casos IRAG por grupo de edad, SE 19, 2017-2018.



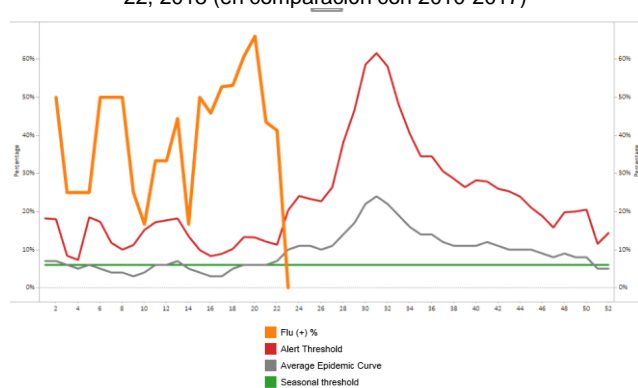
Honduras

- During EW 22, at the sentinel sites, influenza activity decreased below the seasonal threshold (Graph 3) and continued at higher levels with influenza A(H1N1)pdm09 and B co-circulating (Graph 1); no RSV detections were reported (Graph 2). The influenza positive cases were reported mainly from Cortés and Francisco Morazán departments and most cases were among children under 5 years of age. During EW 19, 2018 the cumulative number of SARI cases (353) was slightly higher than in 2017 (270) for the same period. A total of 13 influenza A(H1N1)pdm09-associated SARI deaths were reported from EW 1 to EW 21, compared to 2 influenza-related SARI deaths in the previous season for the same period, all of them with comorbidities. During EW 21, the pneumonia cases remained below the seasonal threshold. / Durante la SE 22 de 2018, en los sitios centinela, la actividad de influenza disminuyó bajo el umbral estacional (Gráfico 3) y continuó a niveles altos con co-circulación de influenza A(H1N1)pdm09 y B (Gráficos 1, 3); no se reportaron detecciones de VSR (Gráfico 2). Los casos positivos de influenza fueron reportados principalmente en los departamentos de Cortés y Francisco Morazán, y la mayoría de los casos fueron en niños menores de 5 años de edad. Durante la SE 19 de 2018, el número acumulado de casos IRAG (353) fue ligeramente superior a lo registrado en 2017 (270 casos) para el mismo período. Un total de 13casos de IRAG fallecidos asociados a influenza A(H1N1)pdm09 fueron reportados desde SE1 a SE 21, comparado a 2 casos de IRAG fallecidos en la temporada previa para el mismo período, todos con comorbilidades. Durante la SE 21, los casos de neumonía permanecieron por debajo del umbral estacional.

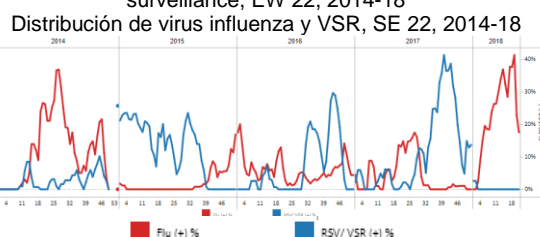
Graph 1. Honduras. Influenza virus distribution from sentinel surveillance, EW 22, 2014-18



Graph 3. Honduras : Percent positivity for influenza, from sentinel surveillance, EW 22, 2018 (in comparision to 2010-2017)
Porcentaje de positividad de influenza, de la vigilancia centinela, SE 22, 2018 (en comparación con 2010-2017)

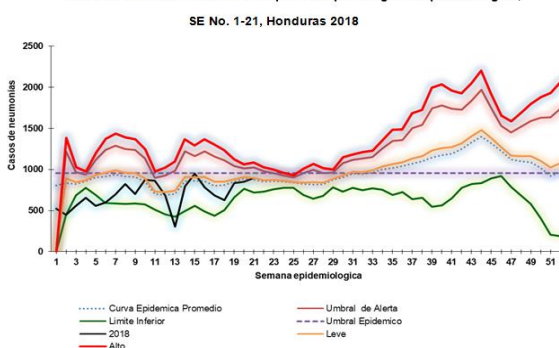


Graph 2. Honduras: Influenza and RSV distribution form sentinel surveillance, EW 22, 2014-18



Graph 4. Honduras : Pneumonia cases, EW 21, (in comparision to 2010-2017)
Casos de neumonía SE21, 2018 (en comparación con 2010-2017)

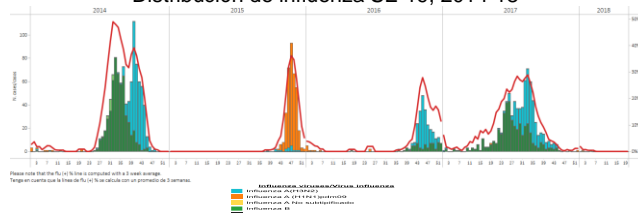
Umbral de alerta de Neumonías Reportadas por telegrama epidemiológico.



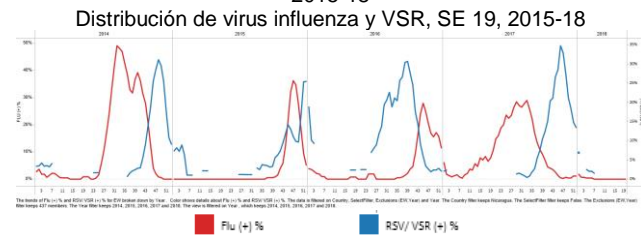
Nicaragua

- During EW 19, at national level, influenza activity continued at low levels and below the seasonal threshold (Graph 1, 3); and RSV detections decreased (Graph 2). / Durante la SE 19, a nivel nacional, la actividad de influenza continuó a niveles bajos y bajo el umbral estacional (Gráficos 1, 3); y las detecciones de VSR disminuyeron (Gráfico 2).

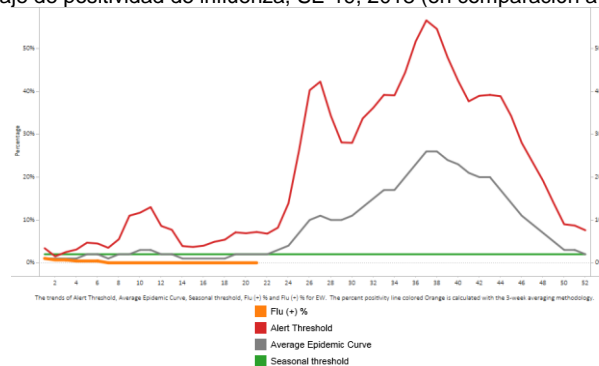
Graph 1. Nicaragua. Influenza virus distribution EW 19, 2014-18
Distribución de influenza SE 19, 2014-18



Graph 2. Nicaragua: Influenza and RSV distribution, EW 19, 2015-18
Distribución de virus influenza y VSR, SE 19, 2015-18



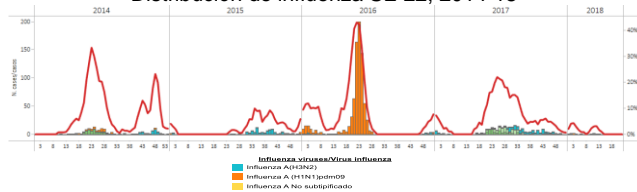
Graph 3. Nicaragua : Percent positivity for influenza, EW 19, 2018 (in comparision to 2010-2017)
Porcentaje de positividad de influenza, SE 19, 2018 (en comparación a 2010-2017)



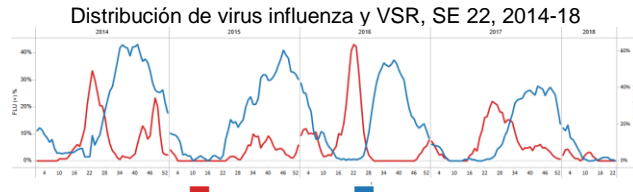
Panama

- During the 2018 season, at national level, influenza activity continued at low levels. No influenza detections were reported in EW 22 (Graph 1,3) with influenza A(H1N1)pdm09 predominating and RSV detections increasing (Graph 2). / Durante la temporada 2018, a nivel nacional, la actividad de influenza continuó en niveles bajos (Gráficos 1, 3). No se reportaron detecciones de influenza en SE 22 (Gráficos 1, 3) con predominio de influenza A(H1N1)pdm09 y aumento de las detecciones de VSR (Gráfico 2).

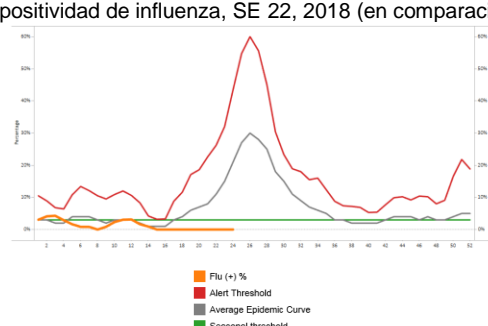
Graph 1. Panama. Influenza virus distribution EW 22, 2014-18
Distribución de influenza SE 22, 2014-18



Graph 2. Panama: Influenza and RSV distribution, EW 22, 2014-18
Distribución de virus influenza y VSR, SE 22, 2014-18



Graph 3. Panama : Percent positivity for influenza, EW 22, 2018 (in comparision to 2010-2017)
Porcentaje de positividad de influenza, SE 22, 2018 (en comparación a 2010-2017)



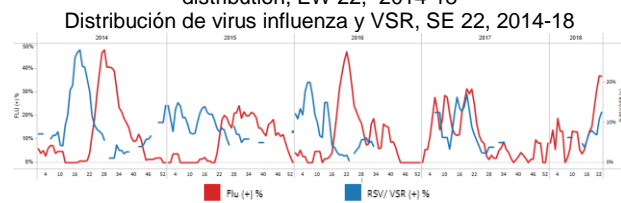
Bolivia

- During EW 22, at the national level, SARI cases were slightly lower than in previous weeks and similar to the 2017 season for the same period (Graph 7). In La Paz, influenza activity slightly increased, as compared to previous weeks and RSV positivity was lower than in previous seasons (Graphs 2, 3). In Santa Cruz, in EW 22, influenza percent positivity decreased, while SARI activity decreased. Influenza B and A(H1N1)pdm09 co-circulated in recent weeks (Graphs 4, 8). / En la SE 22, en el nivel nacional, los casos de IRAG fueron ligeramente menores a las semanas previas y similares a la temporada 2017 para el mismo período (Grafico 7). En La Paz, en la SE 22, la actividad de influenza aumentó ligeramente, en comparación con semanas previas y el porcentaje de positividad para VSR fue menor que el registrado en la temporada previa (Gráficos 2, 3). En Santa Cruz, en la SE 22, el porcentaje de positividad de influenza disminuyó, en tanto la actividad de IRAG disminuyó. Influenza B y A(H1N1)pdm09 co0circularon en semanas recientes (Gráficos 4, 5).

Graph 1. Bolivia INLASA (La Paz). Influenza virus distribution EW 22, 2014-18

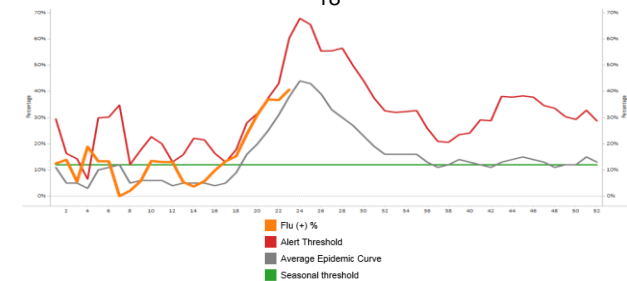


Graph 2. Bolivia INLASA (La Paz): Influenza and RSV distribution, EW 22, 2014-18

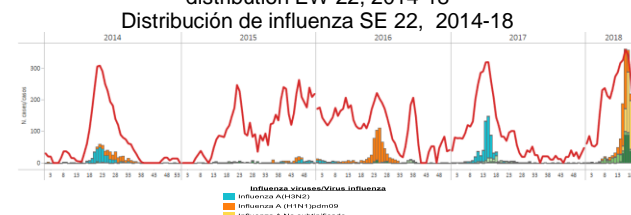


Graph 3. Bolivia INLASA (La Paz): Influenza percent positivity baseline, EW 22, 2014-18

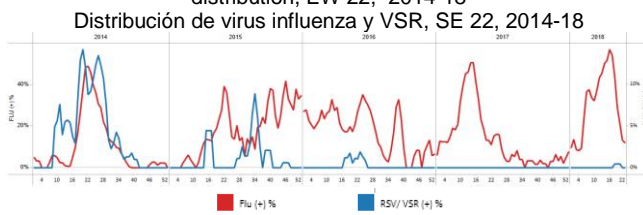
Línea de base de porcentaje positividad de influenza, SE 22, 2014-18



Graph 4. Bolivia CENETROP (Santa Cruz). Influenza virus distribution EW 22, 2014-18

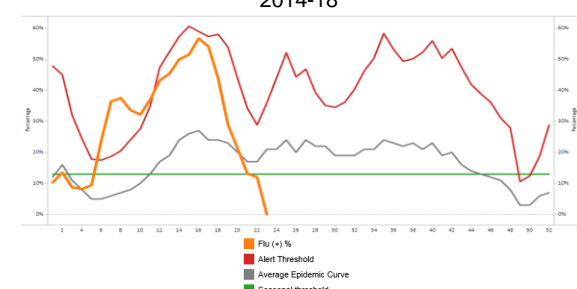


Graph 5. Bolivia CENETROP (Santa Cruz): Influenza and RSV distribution, EW 22, 2014-18



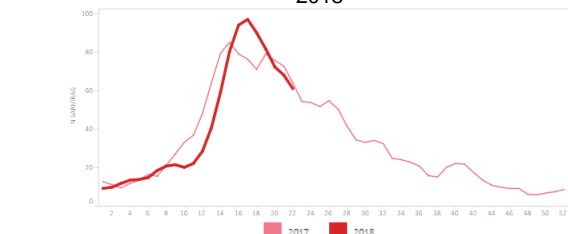
Graph 6. Bolivia CENETROP (Santa Cruz): Influenza percent positivity baseline, EW 22, 2014-18

Línea de base de porcentaje positividad de influenza, SE 22, 2014-18



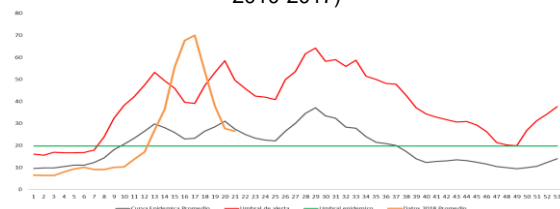
Graph 7. Bolivia: Number of SARI cases out of total hospitalizations, EW 22, 2017-2018

Número de casos IRAG de todas hospitalizaciones, SE 22, 2017-2018



Graph 8. Bolivia Santa Cruz: Number of SARI cases, EW 21, 2018 (in comparison to 2010-2017)

Número de casos de IRAG, SE 21, 2018 (en comparación a 2010-2017)



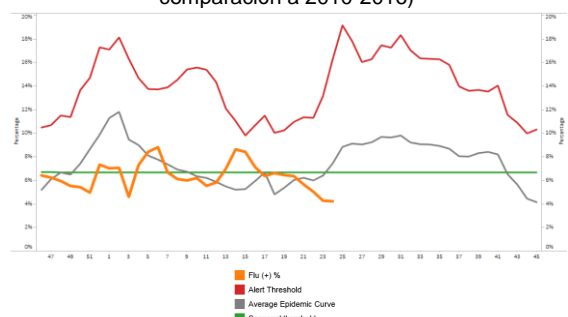
- During EW 21 at national level, SARI case counts were lower as compared to the previous seasons for the same period (Graph 4). In EW 22, influenza activity decreased as compared to the previous weeks and with influenza A(H1N1)pdm09 predominating (Graphs 1, 3); while RSV percent positivity decreased from previous weeks (Graph 2). During EW 19, pneumonia and ARI activities decreased at seasonal levels, as compared to the 2012-2017 seasons (Graph 5, 6). / En la SE 21, a nivel nacional, el número de casos de IRAG fue menor en comparación a las temporadas previas para el mismo período (Grafico 4). Durante la SE 22, la actividad de influenza disminuyó en comparación a las semanas anteriores y con predominio de influenza A(H1N1)pdm09 (Gráficos 1, 3); en tanto la positividad de VSR disminuyó en relación a las semanas previas (Gráfico 2). Durante la SE 18, la actividad de neumonía y la actividad de IRA aumentaron a niveles estacionales, en comparación con las temporadas 2012-2017 (Gráficos 5, 6).

Graph 1. Colombia. Influenza virus distribution EW 22, 2014-18
Distribución de virus influenza SE 22, 2014-18



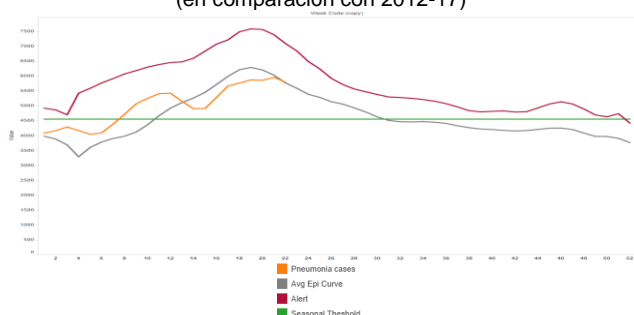
Graph 3. Colombia: Percent positivity for influenza, EW 22, 2017-18
(in comparison to 2010-2016)

Porcentaje de positividad de influenza, SE 22, 2017-18 (en comparación a 2010-2016)

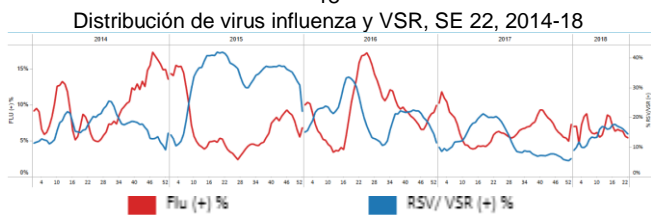


Graph 5. Colombia: Number of pneumonia-related hospitalizations, by EW 21, 2018 (in comparison with 2012-17)

Número de hospitalización asociado a neumonía, por SE 21, 2018 (en comparación con 2012-17)

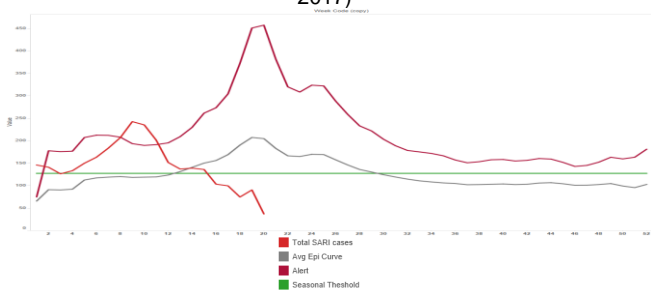


Graph 2. Colombia: Influenza and RSV distribution, EW 22, 2014-18
Distribución de virus influenza y VSR, SE 22, 2014-18



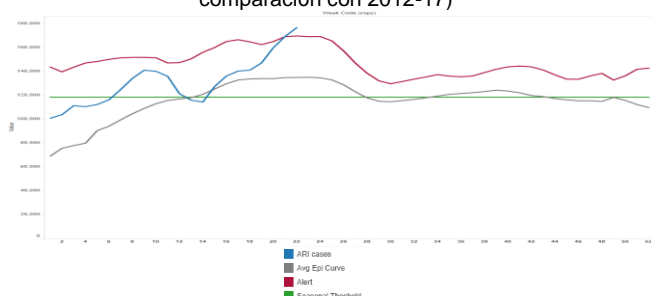
Graph 4. Colombia: Number of SARI cases, EW 21, 2018 (in comparison to 2010-2017)

Número de casos de IRAG, SE 21, 2018 (en comparación a 2010-2017)



Graph 6. Colombia: Number of ARI cases, EW 21 (from all consultations), (in comparison with 2012-17)

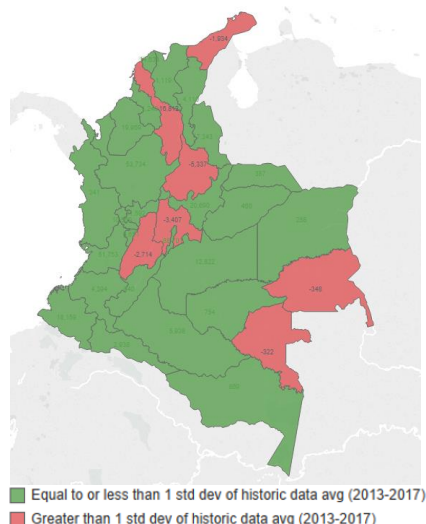
Número de los casos IRA, SE 21 (de todas consultas), (en comparación con 2012-17)



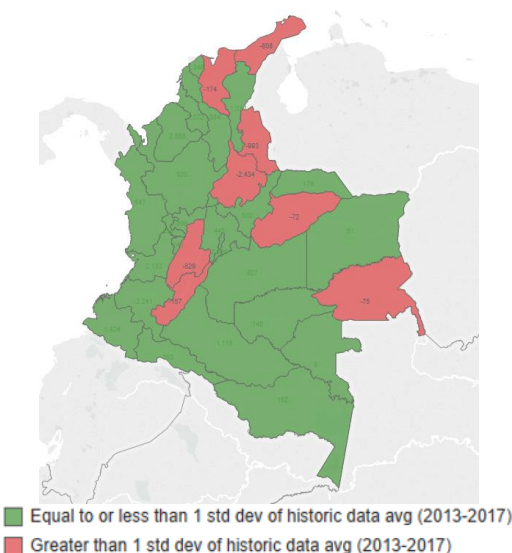
Graph 7: Colombia: ARI-related death rates reported among children under 5 years of age by territorial entity, EW 21, 2018.



Graph 8: Colombia: ARI cases greater than 1 standard deviation from historic average, by department (2013-2017), EW 19. / Casos de IRA mayores a 1 desvío estándar de la media histórica, por departamento (2013-2017), SE 19.



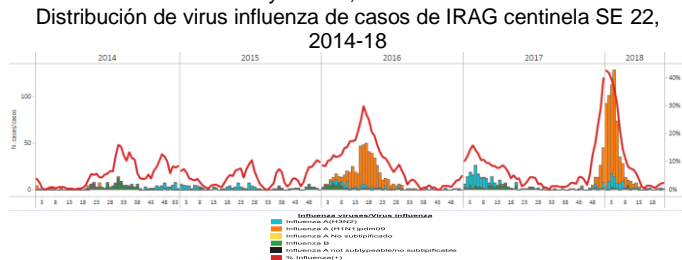
Graph 9: Colombia: Pneumonia cases greater than 1 standard deviation from historic average, by department (2013-2017), EW 19. / Casos de neumonía mayores a 1 desvío estándar de la media histórica, por departamento (2013-2017), SE 19.



Ecuador

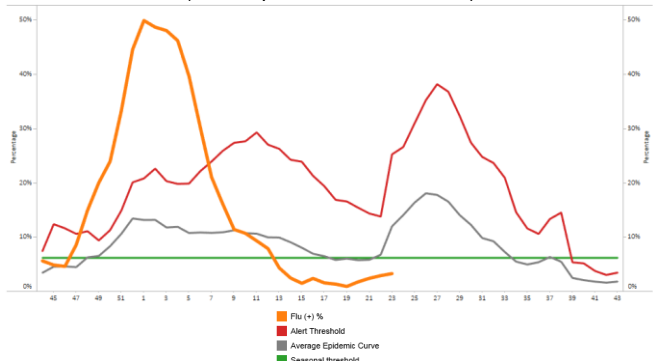
- During EW 20, at national level, the proportion of SARI cases among all hospitalizations decreased from previous weeks and was lower than the levels observed during the 2016 and 2017 seasons for the same period (Graph 4). During EW 22, influenza activity was slightly higher as compared to the previous weeks, and influenza percent positivity and RSV percent positivity were lower than levels reported during the prior season for the same period (Graph 1, 2). / Durante la SE 20, a nivel nacional, la proporción de casos de IRAG del total de hospitalizaciones disminuyó en relación a semanas previas y fue menor a los niveles observados durante 2016-2017 para el mismo período (Gráfico 4). En la SE 22, la actividad de influenza fue ligeramente superior en comparación con semanas previas, y el porcentaje de positividad para influenza y para VSR fueron menores que los registrados en la temporada previa para el mismo período (Gráficos 1, 2).

Graph 1. Ecuador: Influenza virus distribution from SARI sentinel cases by EW 22, 2014-18



Graph 3. Ecuador: Percent positivity for all influenza cases, EW 22, 2018 (in comparison to 2010-2017)

Porcentaje de positividad de todos casos de influenza, SE 22, 2018 (en comparación a 2010-2017)



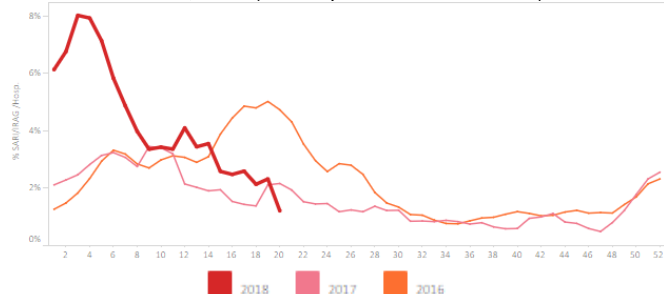
Graph 2. Ecuador: Influenza and RSV distribution from SARI sentinel cases, EW 22, 2014-18

Distribución de virus influenza y VSR de casos de IRAG centinela, SE 22, 2014-18



Graph 4. Ecuador: Percent of SARI cases per total hospitalizations, as of EW 20, 2018 (compared to 2016-2017)

Porcentaje de casos de IRAG por total de hospitalizaciones hasta la SE 20, 2018 (en comparación a 2016-2017)

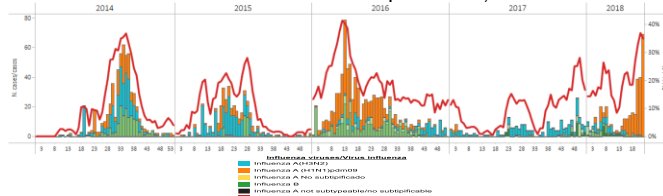


Peru

- During EW 23, at national level, SARI case counts among all hospitalizations remained at low levels (Graph 4) and were mainly among the <5 years old. In EW 22, influenza activity decreased above the average epidemic curve, with influenza A(H1N1)pdm09 predominating (Graph 1, 3). RSV positivity decreased, as compared to the previous weeks and was lower than levels observed in 2017 for the same period (Graph 2). At national level, ARI case counts were similar to the levels observed in 2016-2017 for the same period (Graph 6). Pneumonia case counts in infants under 5 year of age were higher than the counts reported in 2016-2017 for the same period (Graph 7); 8 departments reported pneumonia cumulative incidences higher than the national rates (29.31 cases per 10,000 population): Arequipa, Callao, Huanuco, Lima, Loreto, Madre de Dios, Pasco, and Ucayali (Graph 8). / En la SE 23, a nivel nacional, el número de casos de IRAG entre el total de hospitalizaciones permaneció en niveles bajos (Gráfico 4) y fueron mayormente en <5 años de edad. Durante la SE 22, la actividad de influenza disminuyó ligeramente sobre la curva epidémica promedio, con predominio de influenza A(H1N1)pdm09 (Gráficos 1,3). La positividad de VSR disminuyó, en comparación con las semanas anteriores y fue menor a los niveles observados en 2017 para el mismo período (Gráfico 2). A nivel nacional, el recuento de casos de IRA fue similar a los niveles observados en 2016-2017 para el mismo período (Gráfico 6). El recuento de casos de neumonía en niños menores de 5 años fue superior a los niveles reportados en 2016-2017 para el mismo período (Gráfico 7); 8 departamentos reportaron incidencias acumuladas de neumonía mayores que las tasas nacionales (29,31 casos por 10.000 habitantes): Arequipa, Callao, Huanuco, Lima, Loreto, Madre de Dios, Pasco, and Ucayali (Gráfico 8).

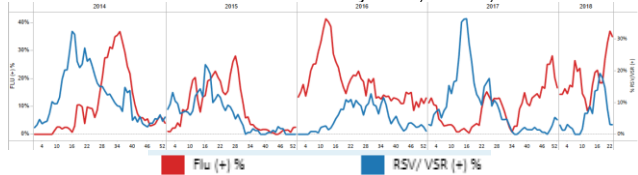
Graph 1. Peru: Influenza virus distribution by EW 22, 2014-18

Distribución de virus influenza por SE 22, 2014-18

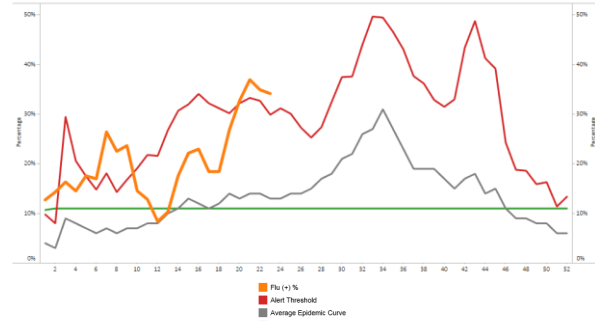


Graph 2. Peru: Influenza and RSV distribution, EW 22, 2014-18

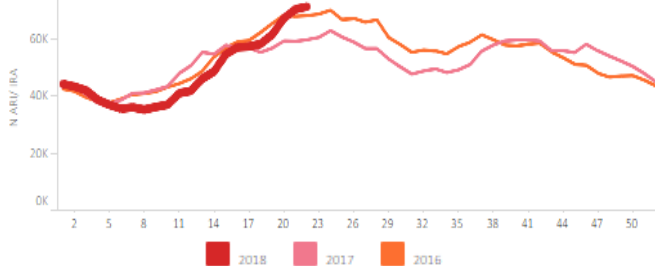
Distribución de virus influenza y VSR, SE 22, 2014-18



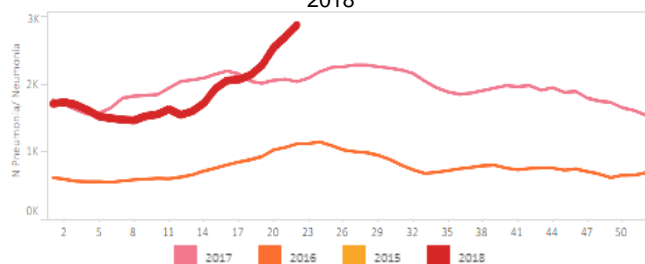
Graph 3. Perú: Percent positivity for influenza, EW 22, 2018 (in comparison to 2010-2017)
Porcentaje de positividad de influenza, SE 22, 2018 (en comparación a 2010-2017)



Graph 5. Peru. ARI cases in children under 5 years, by EW 22, 2016-2018
Casos de IRA en niños menores de 5 años, por SE 22, 2016-2018.



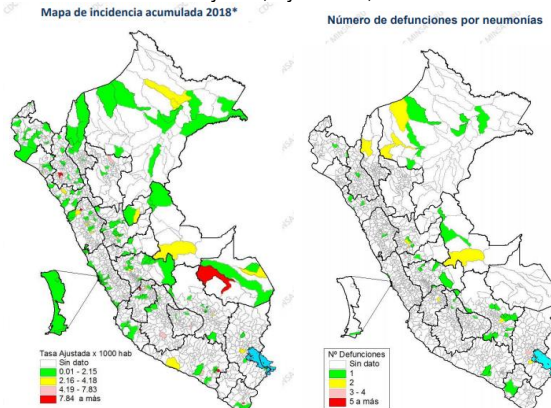
Graph 7. Peru: Pneumonia cases in children under 5 years, by EW 22, 2016-2018
Casos de neumonía en niños menores de 5 años, por SE 22, 2016-2018



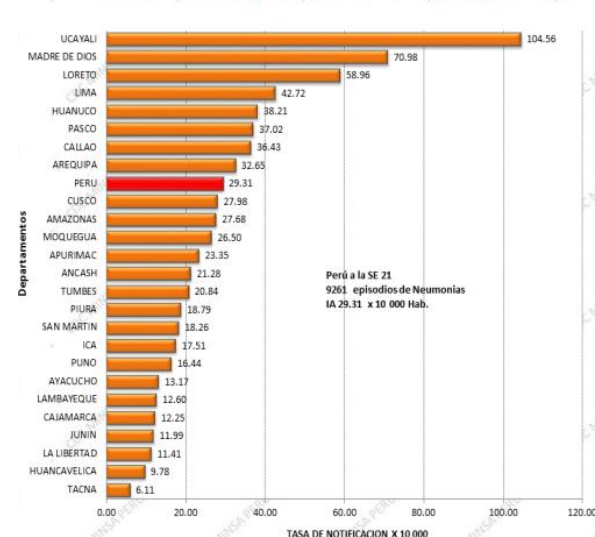
Graph 4. Peru: Number of SARI cases out of all hospitalizations, by EW 23, 2018 (in comparison with 2015-17)
Número de casos IRAG de todas las hospitalizaciones, por SE 23, 2018 (en comparación con 2015-17)



Graph 6 Peru: Map of pneumonia cases and deaths in children under 5 years, by EW 22, 2018
Mapa de incidencia acumulada 2018* Número de defunciones por neumonías



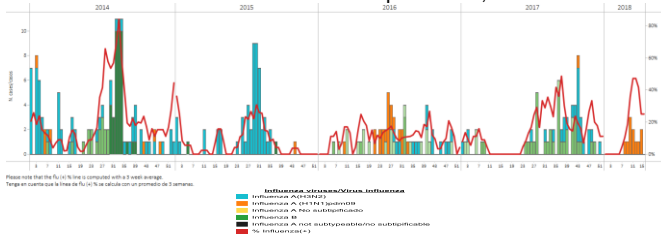
Graph 8. Peru: Pneumonia cumulative incidence in children under 5 years, by department. EW 22, 2018
Peru: Incidencia acumulada de neumonía en menores de 5 años, por departamento, SE 22, 2018.
Tasa acumulada de episodios de neumonía por departamento



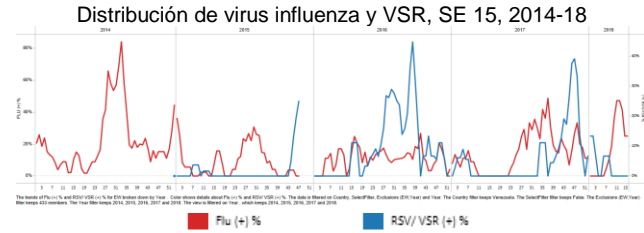
Venezuela

- During EW 15, influenza activity remained at low levels with influenza A(H1N1)pdm09 predominating (Graph 1, 2). Up to EW 15, no RSV detections were reported. / En la SE 15 la actividad de influenza se mantuvo baja con predominio de influenza A(H1N1)pdm09 (Gráficos 1, 2). A la SE 15, no se reportaron detecciones por VSR (Gráfico 2).

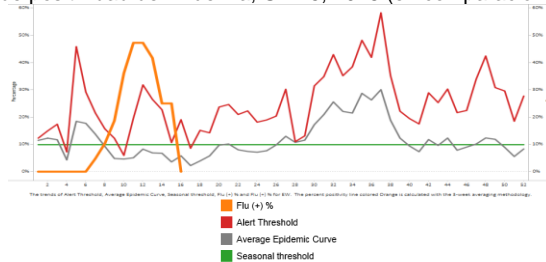
Graph 1. Venezuela: Influenza virus distribution by EW 15, 2015-18
Distribución de virus influenza por SE 15, 2015-18



Graph 2. Venezuela: Influenza and RSV distribution, EW 15, 2014-18
Distribución de virus influenza y VSR, SE 15, 2014-18



Graph 3. Venezuela: Percent positivity for influenza, EW 15, 2018 (in comparision to 2010-2017)
Porcentaje de positividad de influenza, SE 15, 2018 (en comparación a 2010-2017)

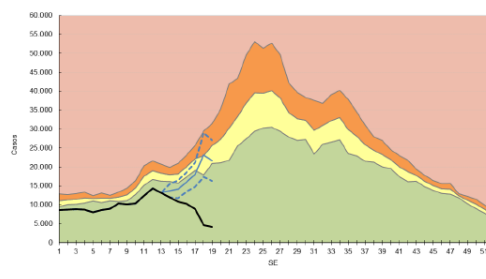


Argentina

- During EW 21, at national level, the number of SARI cases was slightly higher than previous weeks and below the alert threshold (Graph 2). Pneumonia and bronchiolitis activity in younger than 2 years-of-age were low for the period (Graph 3, 4). During EW 22, influenza activity decreased as compared with the previous weeks with overall few samples tested, and influenza B predominating (Graph 5). RSV positivity was lower than levels reported during the previous season for the same period (Graph 6). / En la SE 21, a nivel nacional los casos de IRAG fueron ligeramente superiores a las semanas previas y estuvieron por debajo el umbral de alerta (Gráfico 2). Tanto la actividad de neumonía como de bronquiolitis en menores de 2 años fueron bajas para el período (Gráficos 3, 4). En la SE 22, la actividad de influenza disminuyó en comparación con semanas previas, con recuento bajo de muestras estudiadas, y predominio de influenza B (Gráfico 5). El porcentaje de positividad para VSR fue menor que los registrados en la temporada previa para el mismo período (Gráficos 6).

Graph 1. Argentina. ILI cases. Endemic channel, EW 21, 2018 (compared to 2013-2017) / Casos de ETI. Corredor endémico, SE 21, 2018 (en comparación a 2013-2017)

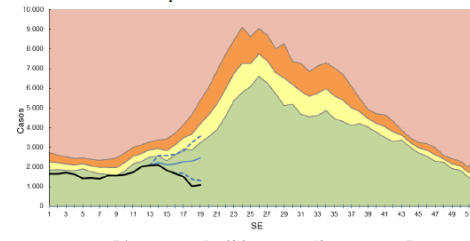
Gráfico 1 - Argentina: Corredor endémico semanal de ETI 2018. Curva de casos y estimaciones hasta la SE19. Total país. Históricos 5 años: 2013 a 2017.



Fuente: Elaboración propia del Área de Vigilancia de la Salud de la Dirección de Epidemiología en base a información proveniente del Sistema Nacional de Vigilancia de la Salud (SNVIS) C2.

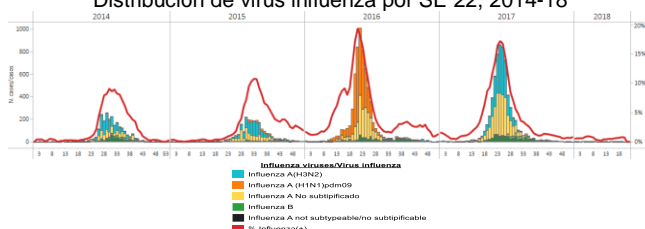
Graph 3. Argentina. Pneumonia cases. Endemic channel, EW 21, 2018 (compared to 2013-2017) / Casos de neumonía. Corredor endémico, 21, 2018 (en comparación a 2013-2017)

Gráfico 3. Argentina: Corredor endémico semanal de Neumonía 2018. Curva de casos y estimaciones hasta la SE19. Total país. Históricos 5 años: 2013 a 2017.



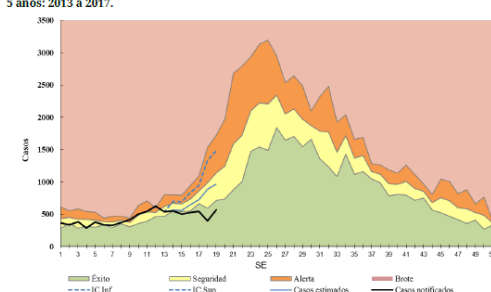
Fuente: Elaboración propia del Área de Vigilancia de la Salud de la Dirección de Epidemiología en base a información proveniente del Sistema Nacional de Vigilancia de la Salud (SNVIS) C2.

Graph 5. Argentina. Influenza virus distribution by EW 22, 2014-18 / Distribución de virus influenza por SE 22, 2014-18



Graph 2. Argentina. SARI cases. Endemic channel, EW 21, 2018 (compared to 2013-2017) / Casos de IRAG. Corredor endémico, SE 21, 2018 (en comparación a 2013-2017)

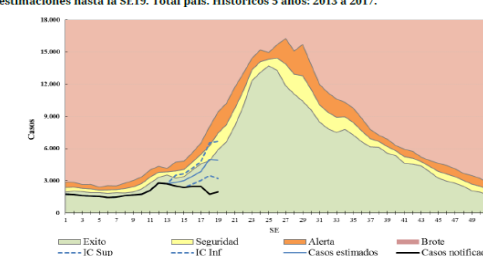
Gráfico 6. Argentina: Corredor endémico semanal de IRAG. Curva de 2018 hasta SE19. Históricos 5 años: 2013 a 2017.



Fuente: Elaboración propia del Área de Vigilancia de la Salud de la Dirección de Epidemiología en base a información proveniente del Sistema Nacional de Vigilancia de la Salud (SNVIS) C2.

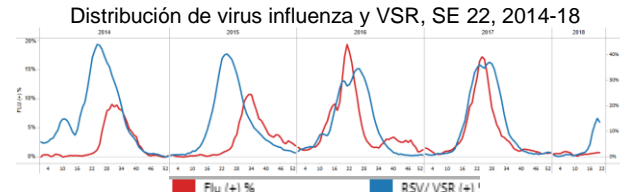
Graph 4. Argentina. Bronchiolitis cases. Endemic channel, EW 21, 2018 (compared to 2013-2017) / Casos de bronquiolitis. Corredor endémico, SE 21, 2018 (en comparación a 2013-2017)

Gráfico 5. Argentina: Corredor endémico semanal de Bronquiolitis 2018. Curva de casos y estimaciones hasta la SE19. Total país. Históricos 5 años: 2013 a 2017.

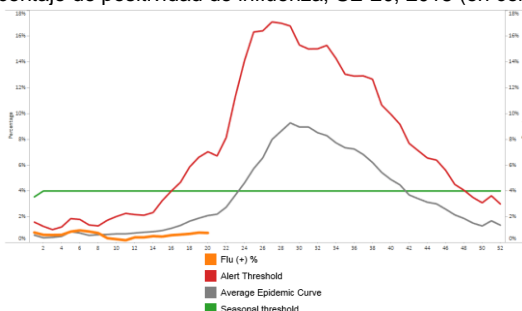


Fuente: Elaboración propia del Área de Vigilancia de la Salud de la Dirección de Epidemiología en base a información proveniente del Sistema Nacional de Vigilancia de la Salud (SNVIS) C2.

Graph 6. Argentina: Influenza and RSV distribution, EW 22, 2014-18 / Distribución de virus influenza y VSR, SE 22, 2014-18



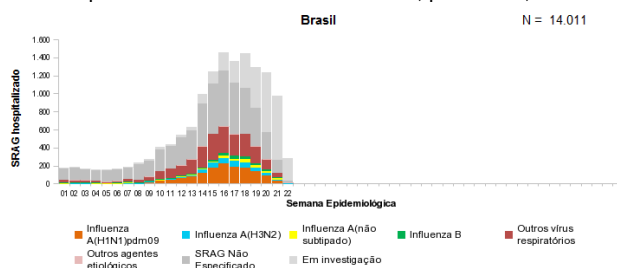
Graph 7. Argentina: Baseline for the percent positivity for influenza, EW 20, 2018 (in comparision to 2010-2017)
 Línea basal para el porcentaje de positividad de influenza, SE 20, 2018 (en comparación a 2010-2017)



Brazil

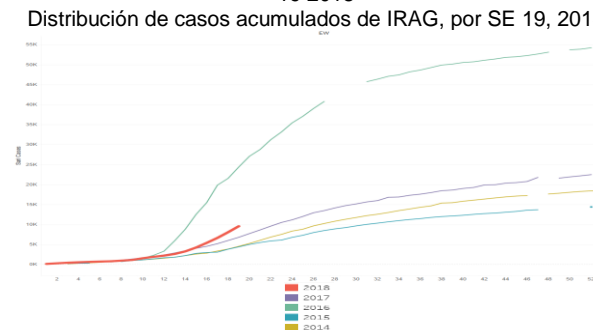
- In Brazil, during EW 22, SARI hospitalizations and deaths decreased (Graphs 1-4), and since the beginning of 2018, among the SARI cases with viral diagnostic results, most have been positive for non-influenza respiratory viruses (Graph 1). The cumulative number of SARI-influenza cases and SARI-influenza deaths were comparable to 2017 and less than the counts reported in 2016 (Graph 5, 6), and were mainly in central and eastern states (Graphs 14, 15 & 16). Based upon the data reported by the three NICs, influenza A (H1N1)pdm09, (H3N2) and influenza B circulates and RSV detections have been decreasing in the last month (Graph 11,12,13). / En Brasil, en la SE 22, las hospitalizaciones y los casos fallecidos por IRAG disminuyeron (Gráficos 3, 4), y desde el inicio de 2018, de los casos de IRAG con resultado de diagnóstico viral, la mayoría ha sido positivo para virus respiratorios distintos de influenza (Gráfico 1). El número acumulado de casos de IRAG por influenza y de casos fallecidos asociados a influenza fueron comparables a 2017 y menores a los recuentos reportados en 2016 (Gráficos 5, 6), y mayormente en los estados centrales y orientales (Gráficos 14, 15 & 16). Entre los casos positivos de influenza reportados por los tres NICs, han predominado influenza A (H1N1)pdm09, (H3N2) e influenza B (Gráficos 11,12). Según los datos reportados de los tres NICs, las detecciones de VSR han disminuido en el último mes (Gráfico 13).

Graph 1. Brazil. SARI-related hospitalizations, by EW 22, 2018
 Hospitalizaciones asociadas con IRAG, por SE 22, 2018

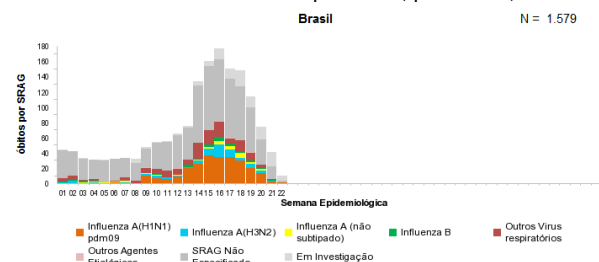


Fonte: SINAN Influenza Web. Dados atualizados em 4/6/2018, sujeitos a alteração.

Graph 3. Brazil. Distribution of cumulative SARI-related cases, by EW 19 2018
 Distribución de casos acumulados de IRAG, por SE 19, 2018

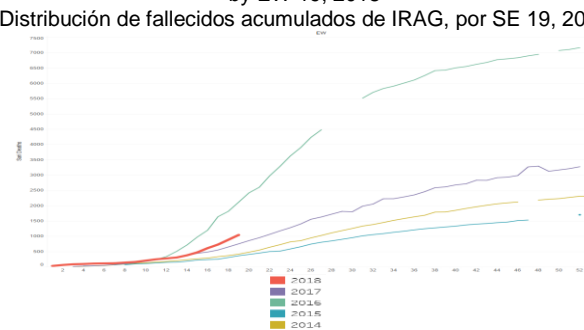


Graph 2. Brazil. SARI-related deaths, by EW 22, 2018
 Distribución de fallecidos por IRAG, por SE 22, 2018

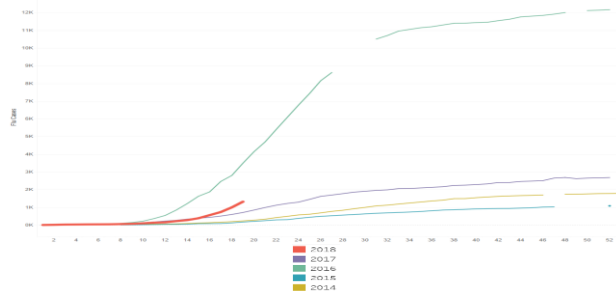


Fonte: SINAN Influenza Web. Dados atualizados em 4/6/2018, sujeitos a alteração.

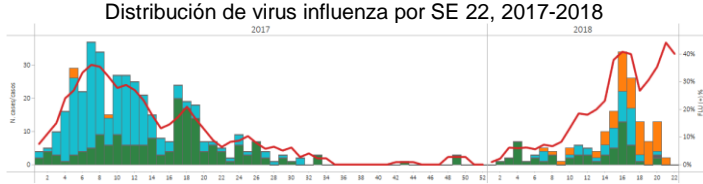
Graph 4. Brazil. Distribution of cumulative SARI-related deaths, by EW 19, 2018
 Distribución de fallecidos acumulados de IRAG, por SE 19, 2018



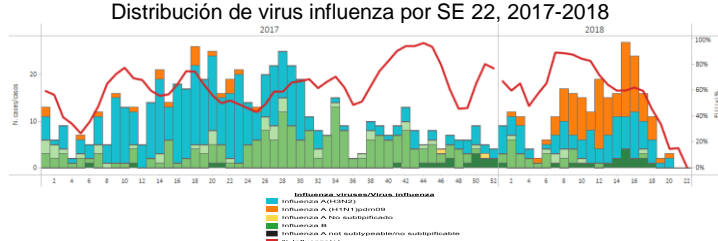
Graph 5. Brazil. Distribution of cumulative flu(+) SARI-related cases, by EW 19, 2018
Distribución de flu(+) casos acumulados de IRAG, por SE 19, 2018



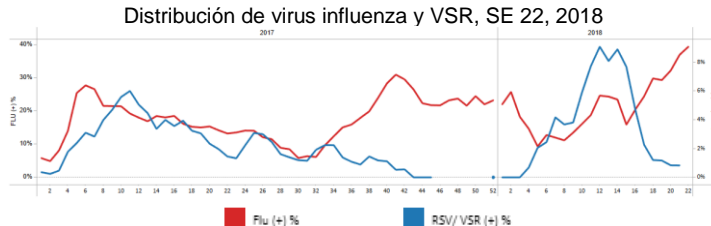
Graph 7. Brazil - NIC IEC. Influenza virus distribution by EW 22, 2017-2018
Distribución de virus influenza por SE 22, 2017-2018



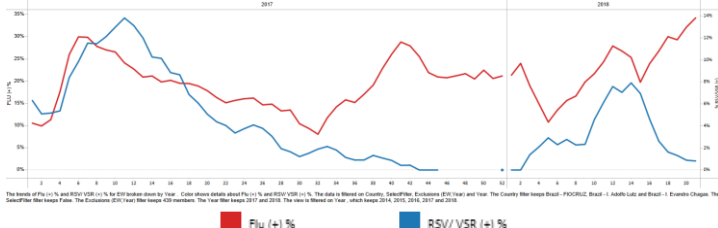
**Graph 9. Brazil- NIC FIOCRUZ. Influenza virus distribution by EW 22, 2017-2018
Distribución de virus influenza por SE 22, 2017-2018**



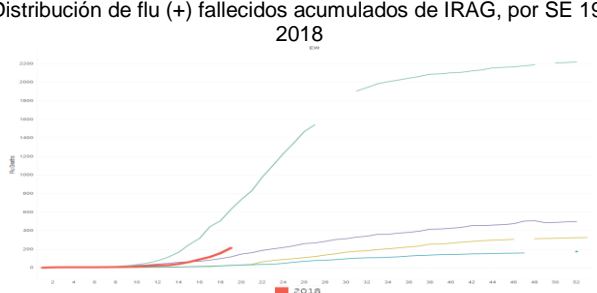
**Graph 11. Brazil - NIC Adolfo Lutz: Influenza and RSV distribution, EW 22, 2018
Distribución de virus influenza y VSR, SE 22, 2018**



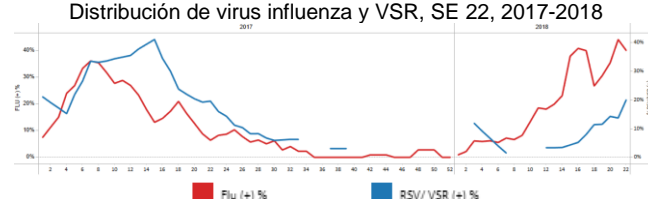
**Graph 13. Brazil – All NICs: Influenza and RSV distribution, EW 21, 2018
Distribución de virus influenza y VSR, SE 21, 2018**



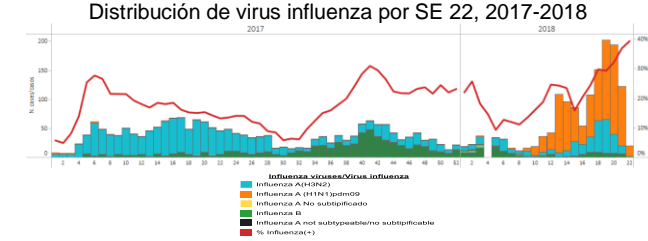
**Graph 6. Brazil. Distribution of cumulative flu(+) SARI-related deaths, by EW 19, 2018
Distribución de flu (+) fallecidos acumulados de IRAG, por SE 19, 2018**



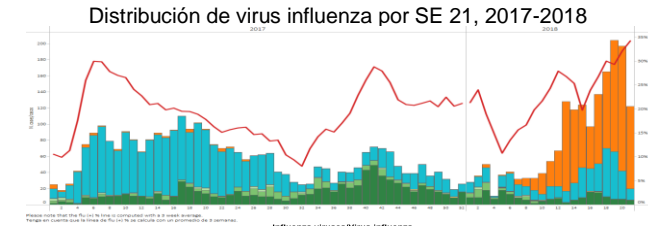
**Graph 8. Brazil - NIC IEC: Influenza and RSV distribution, EW 22, 2017-2018
Distribución de virus influenza y VSR, SE 22, 2017-2018**



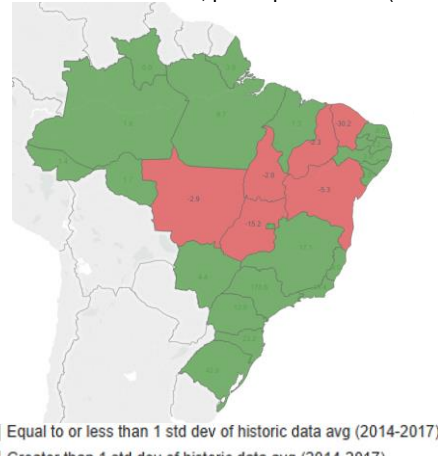
**Graph 10. Brazil- NIC Adolfo Lutz. Influenza virus distribution by EW 22, 2017-2018
Distribución de virus influenza por SE 22, 2017-2018**



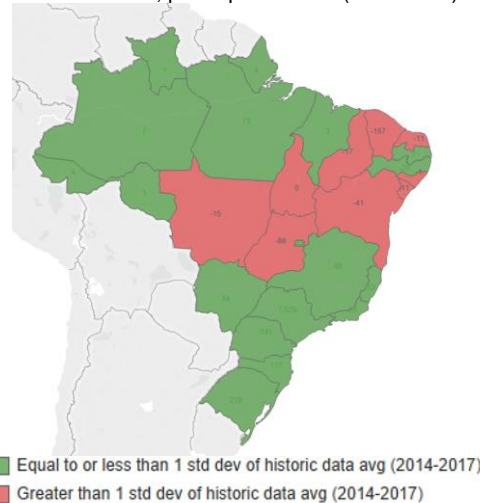
**Graph 12. Brazil- All NICs. Influenza virus distribution by EW 21, 2017-2018
Distribución de virus influenza por SE 21, 2017-2018**



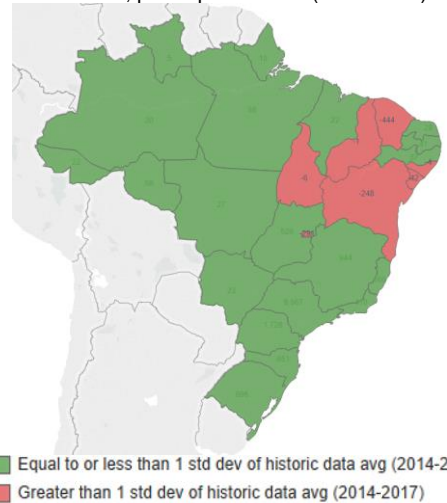
Graph 14. Brazil- SARI Flu Deaths, greater than 1 standard deviation from historic average, by department (2013-2017). / Casos de IRAG fallecidos por influenza mayores a 1 desvío estándar de la media histórica, por departamento (2013-2017).



Graph 15. Brazil- SARI Flu Cases, greater than 1 standard deviation from historic average, by department (2013-2017) /
Casos de IRAG positivos para influenza mayores a 1 desvío estándar de la media histórica, por departamento (2013-2017).



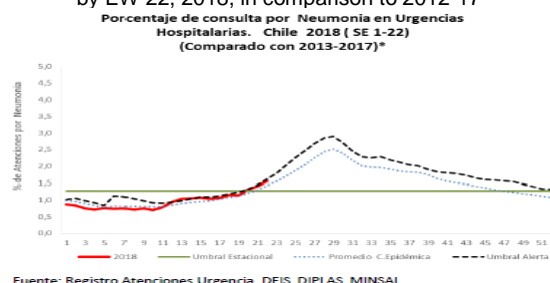
Graph 16. Brazil- SARI Cases, greater than 1 standard deviation above historic average (2013-2017) /
Casos de IRAG, mayores a 1 desvío estándar de la media histórica, por departamento (2013-2017).



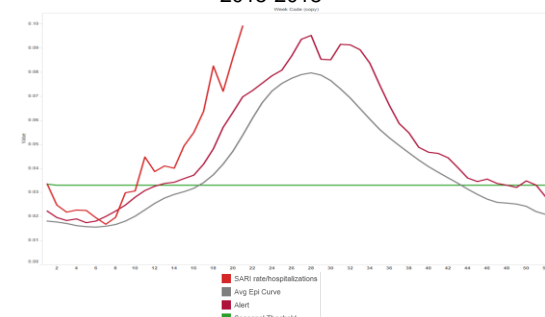
Chile

- During EW 21, at national level, the SARI cases remained elevated as compared to the previous weeks and were above the alert threshold levels observed during 2015-2017 for the same period (Graph 2); while ILI rates and pneumonia activity remained at seasonal levels in recent weeks (Graph 1, 8). In EW 22, influenza activity increased from previous weeks at the average epidemic curve, with influenza A(H3N2) and A(H1N1)pdm09 co-circulating (Graphs 3,4); influenza and RSV percent positivity increased (Graph 5). / Durante la SE 21, a nivel nacional, los casos de IRAG permanecieron elevados en relación a las semanas previas y se ubicaron sobre los niveles del umbral de alerta observados durante 2015-2017 para el mismo período (Gráfico 2); en tanto las tasas de ETI y la actividad de neumonía permanecieron a niveles estacionales en semanas recientes (Gráficos 1, 3, 8). En la SE 22, la actividad de influenza aumentó en relación a las semanas previas en la curva epidémica promedio, con co-circulación de influenza A(H3N2) y A(H1N1)pdm09 (Gráficos 3, 4); los porcentaje de positividad de influenza y de VSR aumentaron ligeramente (Gráfico 5).

Graph 1. Chile. Percentage of hospital emergency visits for pneumonia, by EW 22, 2018, in comparison to 2012-17

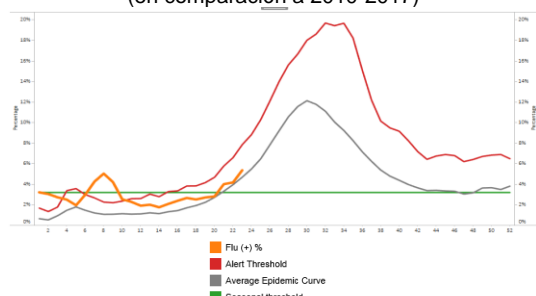


Graph 2. Chile. Percent of SARI cases from all hospitalizations, EW 21, 2015-2018, Porcentaje de casos IRAG por las hospitalizaciones totales, SE 21, 2015-2018

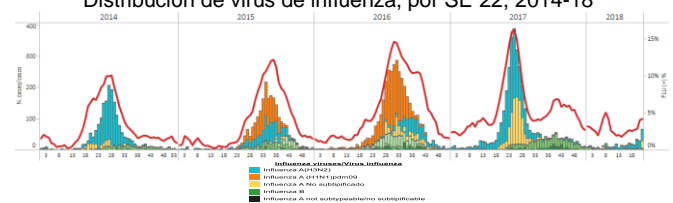


Graph 3. Chile: Baseline for the percent positivity for influenza, EW 22, 2018 (in comparison to 2010-2017)

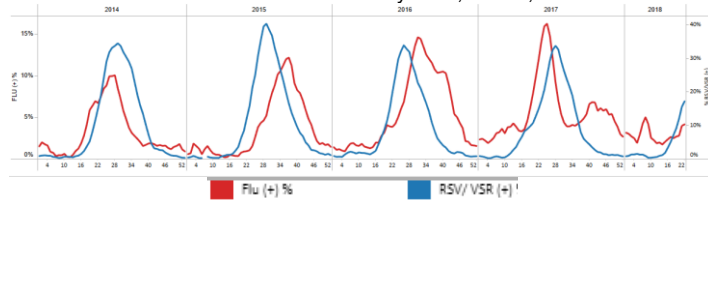
Línea basal para el porcentaje de positividad de influenza, SE 22, 2018 (en comparación a 2010-2017)



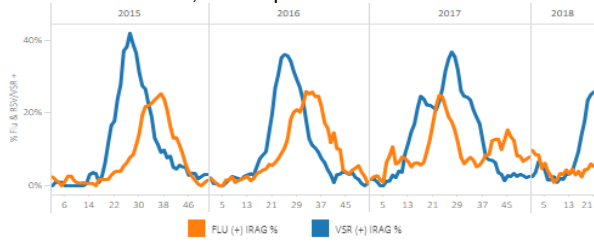
Graph 4. Chile: Influenza virus distribution by EW 22, 2014-18 Distribución de virus de influenza, por SE 22, 2014-18



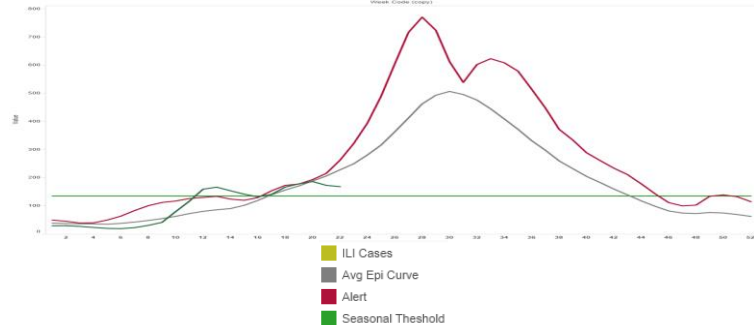
Graph 6. Chile: Influenza and RSV distribution, EW 22, 2014-18
Distribución de virus influenza y VSR, SE 22, 2014-18



Graph 7. Chile. SARI cases with samples positive for influenza and RSV, EW 19, 2018 in comparison 2015-17
Casos IRAG con muestras positivas por influenza y VSR, SE 19, 2018, en comparación 2015-17



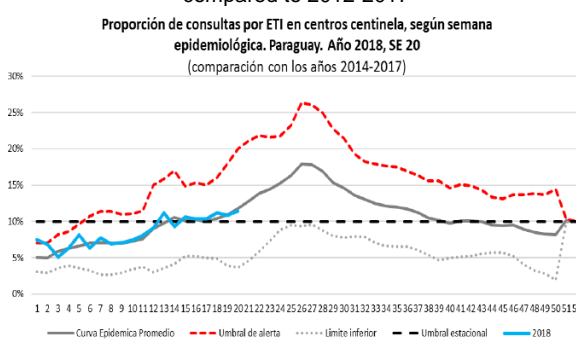
Graph 8. Chile. Number of ILI cases, EW 21, 2018 in comparison 2015-17
Número de casos ETI, SE 21, 2018, en comparación 2015-17



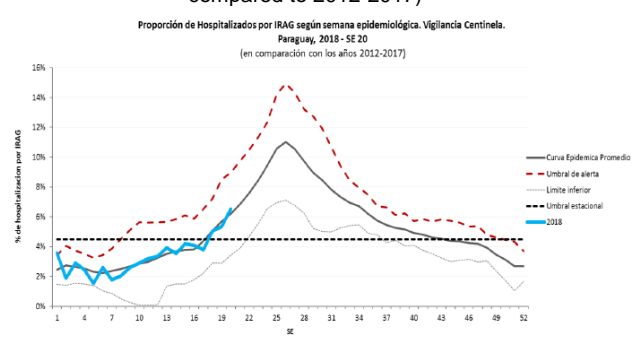
Paraguay

- During EW 21, at national level, the SARI cases increased as compared to the previous weeks and were above the average epidemic curve (Graph 3); while ILI activity remained at the seasonal levels (Graph 1). In EW 22, influenza activity was low and decreased from previous weeks with influenza B predominating (Graphs 6, 7); influenza percent positivity remained at low levels, while RSV positivity increased in recent weeks (Graph 7). / En la SE 21 a nivel nacional los casos de IRAG aumentaron respecto a las semanas previas y se encontraron sobre la curva epidémica promedio (Gráfico 3), en tanto la actividad de ETI permaneció a niveles estacionales (Gráfico 1). Durante la SE 22, la actividad de influenza fue baja y disminuyó en comparación a las semanas anteriores con predominio de influenza B (Gráficos 6, 7); la positividad de influenza permaneció a niveles bajos, en tanto la positividad de VSR aumentó en semanas recientes (Gráfico 7).

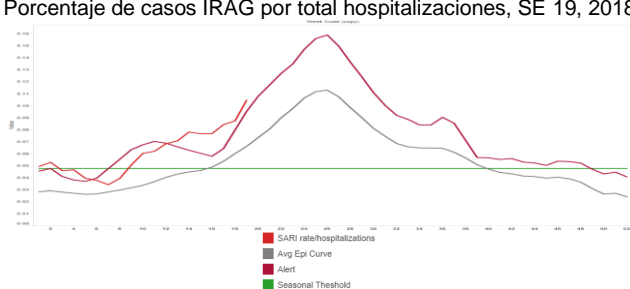
Graph 1. Paraguay: Proportion of ILI consultations, EW 21, 2018 (as compared to 2012-2017)



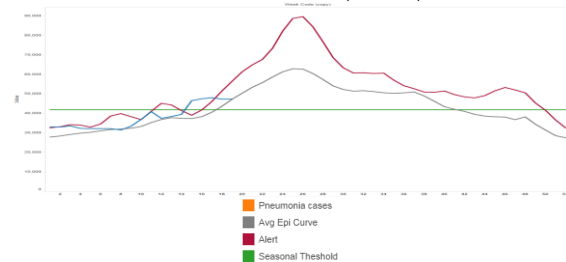
Graph 2. Paraguay: Distribution of SARI cases EW 21, 2018 (as compared to 2012-2017)



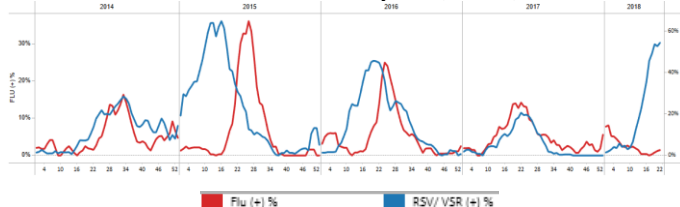
Graph 3. Paraguay: Percent of SARI cases per total hospitalizations, EW 19, 2018
Porcentaje de casos IRAG por total hospitalizaciones, SE 19, 2018



Graph 5. Paraguay: Number of cases for ARI, EW 19, 2018
Número de casos de IRA, SE 19, 2018



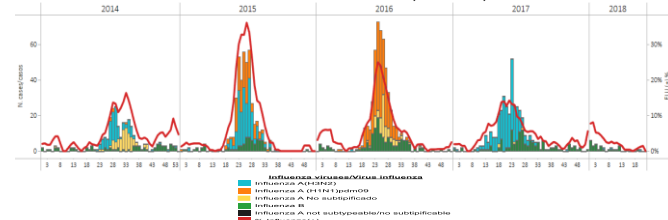
Graph 7. Paraguay: Influenza and RSV distribution, EW 22, 2014-18
Distribución de virus influenza y VSR, SE 22, 2014-18



Graph 4. Paraguay: Percent of SARI deaths per total deaths, EW 19, 2018
Porcentaje de fallecidos por IRAG, SE 19, 2018

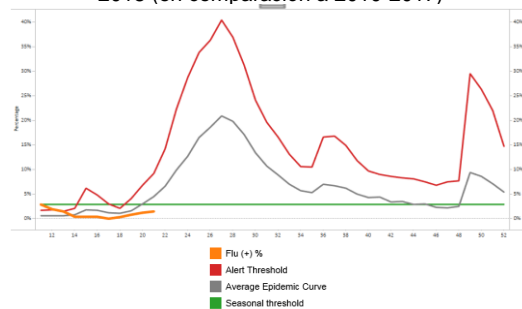


Graph 6. Paraguay: Influenza virus distribution EW 22, 2014-18
Distribución de virus de influenza, SE 22, 2014-18



Graph 8. Paraguay IRAG: Baseline for the percent positivity for influenza, EW 21, 2018 (in comparison to 2010-2017)

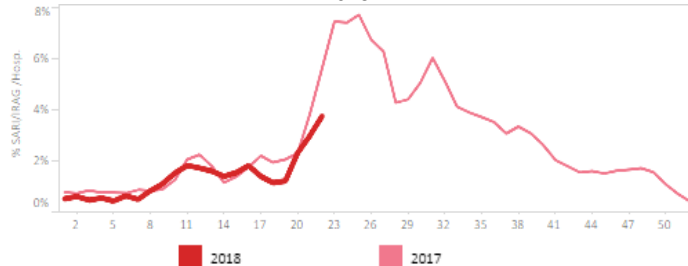
Línea basal para el porcentaje de positividad de influenza, SE 21, 2018 (en comparación a 2010-2017)



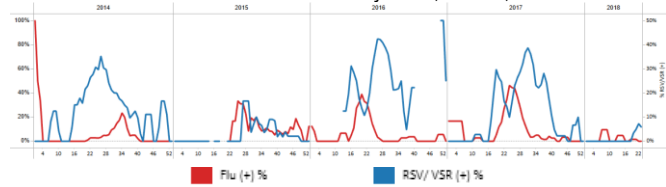
Uruguay

- In EW 22, influenza activity was low with influenza B predominating (Graphs 3, 4); and RSV positivity remained at low levels (Graph 2). During EW 22, the percentage of SARI cases among all hospitalizations increased from previous weeks similar to the previous season for the same period (Graph 4). / Durante la SE 22, la actividad de influenza fue baja con predominio de influenza B (Gráficos 3, 4); la positividad de VSR permaneció a niveles bajos (Gráfico 2). Durante la SE 22, el porcentaje de casos de IRAG del total de hospitalizaciones aumentó en relación a semanas previas similar a la temporada anterior para el mismo período (Gráfico 4).

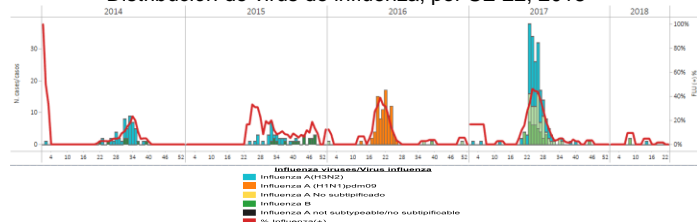
Graph 1. Uruguay: % SARI cases among all hospitalizations, EW 22, 2018; porcentaje de casos IRAG por todas las hospitalizaciones, SE 22, 2018



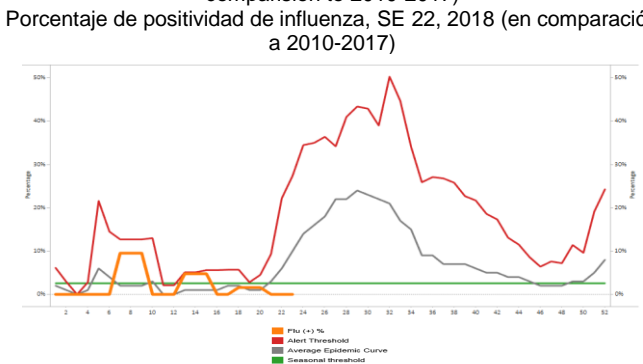
Graph 2. Uruguay: Influenza and RSV distribution, EW 22, 2014-18
Distribución de virus influenza y VSR, SE 22, 2014-18



Graph 3. Uruguay: Influenza virus distribution by EW 22, 2018
Distribución de virus de influenza, por SE 22, 2018



Graph 4. Uruguay: Percent positivity for influenza, EW 22, 2018 (in comparision to 2010-2017)
Porcentaje de positividad de influenza, SE 22, 2018 (en comparación a 2010-2017)



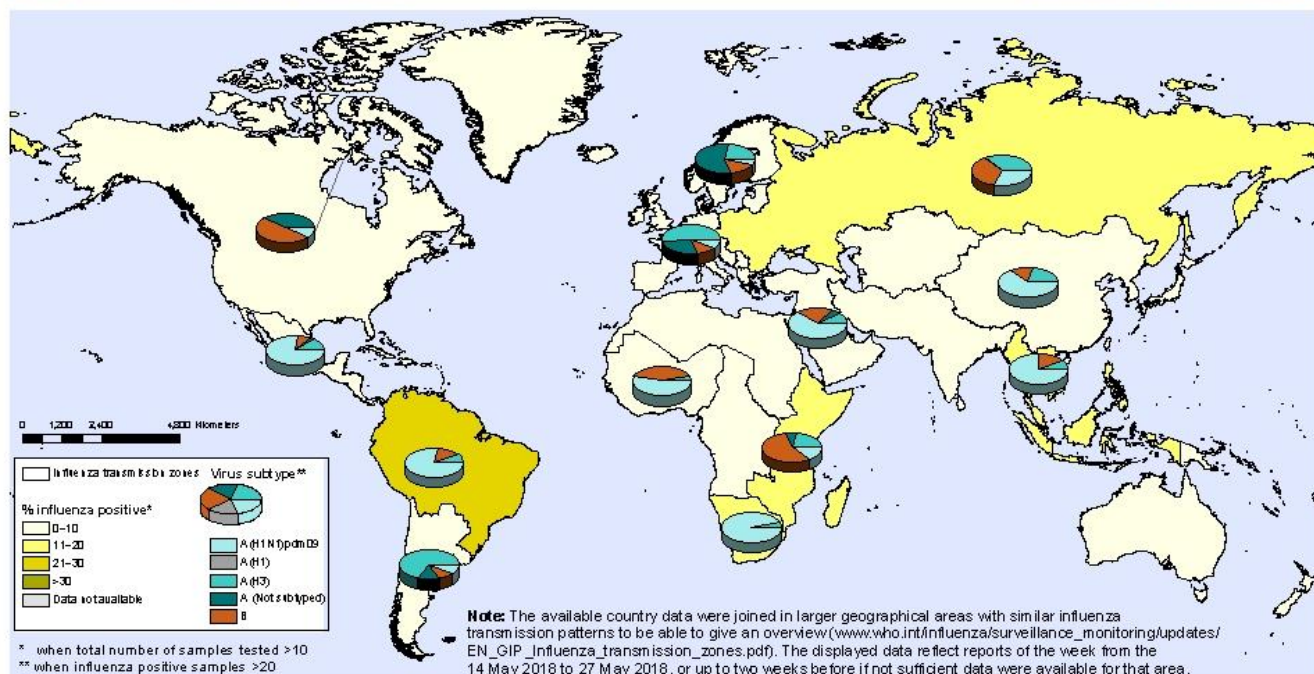
Influenza Global Update 317. / Actualización de influenza nivel global 317.

Influenza detections continued to increase in recent weeks in Southern Africa, however influenza activity remained under seasonal thresholds in most other countries of the temperate zone of the southern hemisphere. In the temperate zone of the northern hemisphere influenza activity returned to inter-seasonal levels in most of the countries. Increased influenza activity was reported in some countries in tropical America. Worldwide, seasonal influenza subtype A accounted for the majority of influenza detections. / Las detecciones de influenza siguieron aumentando en las últimas semanas en el sur de África, sin embargo, la actividad de influenza se mantuvo por debajo de los umbrales estacionales en la mayoría de los demás países de la zona templada del hemisferio sur. En la zona templada del hemisferio norte, la actividad de influenza volvió a niveles inter-estacionales en la mayoría de los países. Se informó una mayor actividad de influenza en algunos países de América tropical. En todo el mundo, el subtipo A de influenza estacional representó la mayoría de las detecciones de influenza.

National Influenza Centres (NICs) and other national influenza laboratories from 100 countries, areas or territories reported data to FluNet for the time period from 14 May to 27 May 2018. The WHO GISRS laboratories tested more than 67928 specimens during that time period. 2328 were positive for influenza viruses, of which 1616 (69.4%) were typed as influenza A and 712 (30.6%) as influenza B. Of the sub-typed influenza A viruses, 888 (75.1%) were influenza A(H1N1)pdm09 and 295 (24.9%) were influenza A(H3N2). Of the characterized B viruses, 126 (76.8%) belonged to the B-Yamagata lineage and 38 (23.2%) to the B-Victoria lineage. / Los Centros Nacionales de Influenza (NICs) y otros laboratorios nacionales de influenza de 100 países, áreas o territorios, reportaron datos a FluNet en el período del 14 de mayo al 27 de mayo de 2018. Los laboratorios de la OMS GISRS realizaron pruebas a más de 67928 muestras durante ese período. 2328 tuvieron resultado positivo para virus influenza, de los cuales 1616 (69,4%) fueron tipificados como influenza A y 712 (30,6%) como influenza B. De los virus influenza A subtipificados, 888 (75,1%) fueron influenza A(H1N1)pdm09 y 295 (24,9%) fueron influenza A(H3N2). De los virus influenza B caracterizados, 126 (76,8%) fueron del linaje B-Yamagata y 38 (23,2%) fueron del linaje B-Victoria.

**Percentage of respiratory specimens that tested positive for influenza
By influenza transmission zone**

Status as of 08 June 2018



The boundaries and names shown and the designations used on this map do not imply the expression of any opinion whatsoever on the part of the World Health Organization concerning the legal status of any country, territory, city or area or of its authorities, or concerning the delimitation of its frontiers or boundaries. Dotted and dashed lines on maps represent approximate border lines for which there may not yet be full agreement.

Data Source: Global Influenza Surveillance and Response System (GISRS), FluNet (www.who.int/FluNet).

 **World Health Organization**
©WHO 2018. All rights reserved.

This report summarizes³ the epidemiological and virological features of the laboratory-confirmed human cases of infection with influenza viruses of animal origin, including avian influenza A(H5) and A(H7) viruses from 3 March to 28 May, 2018⁴. No sustained human-to-human transmission was identified in any of the events. / Este reporte resume las características epidemiológicas y virológicas de los casos humanos de infección por virus influenza de origen animal confirmados por laboratorio, incluyendo los virus de influenza aviar A(H5) y A(H7) desde el 3 de marzo a 28 de mayo de 2018. No se ha identificado trasmisión sostenida de humano a humano en ninguno de los eventos.

Avian influenza viruses

Avian influenza A(H5) viruses / Virus influenza aviar A(H5)

According to reports received by the World Organisation for Animal Health (OIE), various influenza A(H5) subtypes continue to be detected in birds in Africa, Europe and Asia. Influenza A(H5N6) viruses have recently been detected in parts of Europe and Asia, however these A(H5N6) viruses are different from the A(H5N6) influenza viruses which have infected humans in China. / Según los informes recibidos por la Organización Mundial de Sanidad Animal (OIE), varios subtipos de influenza A(H5) continúan siendo detectados en aves en África, Europa y Asia. Recientemente se han detectado virus influenza A(H5N6) en partes de Europa y Asia, sin embargo, estos virus A(H5N6) son diferentes de los virus de la influenza A (H5N6) que han infectado a humanos en China.

Avian influenza A(H7N9) viruses / Virus influenza aviar A(H7N9)

According to reports received by the World Organisation for Animal Health (OIE), A(H7N9) avian influenza viruses continue to be detected by agricultural authorities in China. A nationwide domestic poultry vaccination plan is underway. Overall, the risk assessments have not changed. / Según los informes recibidos por la Organización Mundial de Sanidad Animal (OIE), las autoridades agrícolas de China siguen detectando los virus de influenza aviar A (H7N9). Se realizará un plan nacional de vacunación avícola nacional. En general, las evaluaciones de riesgo no han cambiado.

³ For epidemiological and virological features of human infections with animal influenza viruses not reported in this assessment, see the yearly report on human cases of influenza at the human-animal interface published in the Weekly Epidemiological Record. www.who.int/wer/en/

More information available at: <http://www.who.int/wer/en/>

⁴ WHO (2018) Influenza at the human-animal interface Summary and assessment. Available at:

http://www.who.int/influenza/human_animal_interface/Influenza_Summary_HA_interface_28_05_2018.pdf?ua=1

ACRONYMS

ARI	Acute Respiratory Infection
CARPHA	Caribbean Public Health Agency
CENETROP	Centro de Enfermedades Tropicales (Santa Cruz, Bolivia)
EW	Epidemiological Week
ILI	Influenza-like illness
INLASA	Instituto Nacional de Laboratorios de Salud (La Paz, Bolivia)
INS	Instituto Nacional de Salud
ORV	Other respiratory viruses
SARI	Severe acute respiratory infection
SEDES	Servicio Departamental de Salud (Bolivia)
ICU	Intensive Care Unit
RSV	Respiratory Syncytial Virus

ACRÓNIMOS

CARPHA	Agencia de Salud Pública del Caribe/Caribbean Public Health Agency
CENETROP	Centro de Enfermedades Tropicales (Santa Cruz, Bolivia)
ETI	Enfermedad Tipo influenza
INLASA	Instituto Nacional de Laboratorios de Salud (La Paz, Bolivia)
INS	Instituto Nacional de Salud
IRA	Infección Respiratoria Aguda
IRAG	Infección Respiratoria Aguda grave
OVR	Otros virus respiratorios
SE	Semana epidemiológica
SEDES	Servicio Departamental de Salud (Bolivia)
UCI	Unidad de Cuidados Intensivos
VSR	Virus Sincitrial Respiratorio